

MARMARA BÖLGESİ TERMOMINERAL KAYNAKLARININ HİDROJEOKİMYASI

HYDROGEOCHEMISTRY OF THE THERMOMINERAL SOURCES OF MARMARA REGION

Rüstem PEHLİVAN - Osman YILMAZ

İ. Ü. Müh. Fak. Jeoloji Mühendisliği Bölümü, 34850, Avcılar/İstanbul.

ÖZ: Bu inceleme, Marmara Bölgesi termomineral kaynaklarının hidrojeokimyasal özelliklerini belirlemek için yapılmıştır. Bu amaçla, Marmara Bölgesi'nin jeolojisi ve hidrojeolojik özellikleri bölgelerel jeolojik konum içerisinde değerlendirilmiş ve Marmara Bölgesi'nde bulunan 24 adet termomineral kaynağın (içme ve kaplıcaların) taramızdan ve daha önceki yıllarda yapılmış olan kimyasal analiz sonuçları verilmiştir. Araştırmada, termomineral kaynaklarının su analiz sonuçları Yarı logaritmik Schoeller ve Piper diyagramlarında incelenerek, örneklerin ait olduğu suların hidrojeokimyası değerlendirilmiştir. Diyagramlardan elde edilen katyon ve anion trendleri, termomineral kaynakların genelde vakanik ve asidik kayaç ile kireçtaşlarından geldiğini gösterir. Ayrıca, termomineral kaynakların $\text{Na}+\text{K}>\text{Ca}+\text{Mg}$ ve $(\text{CO}_3+\text{HCO}_3)>\text{SO}_4+\text{Cl}$ iyon dizilimleri ile de karışık sular grubunda yeraldiklerida belirlenmiştir. Sonuç olarak, yukarıda belirtilen kayaç tipi ve iyon dizilimlerinin uyumlu olduğu ve birbirlerini desteklediği söylenebilir.

ABSTRACT : This investigation was performed to determine hydrogeochemical features of thermomineral sources of Marmara region. For this purpose, hydrogeological features and geology of Marmara region were evaluated within regional geological situation. Results of the chemical analysis of the 24 thermomineral sources (thermal springs and hot springs) in Marmara region which are done in the previous years by us and others are given. In the investigation, analysis results of thermomineral sources are evaluated with respect to hydrogeochemistry view. The cation and anion trends obtained from the diagrams show that thermomineral sources derived from volcanic and asitic rock with limestone. Furthermore, thermomineral sources are mixed type waters according to their ions distribution $\text{Na}+\text{K}>\text{Ca}+\text{Mg}$ and $(\text{CO}_3+\text{HCO}_3)>\text{SO}_4+\text{Cl}$. Consequently, supported to the rock type and ion distribution of thermomineral sources.

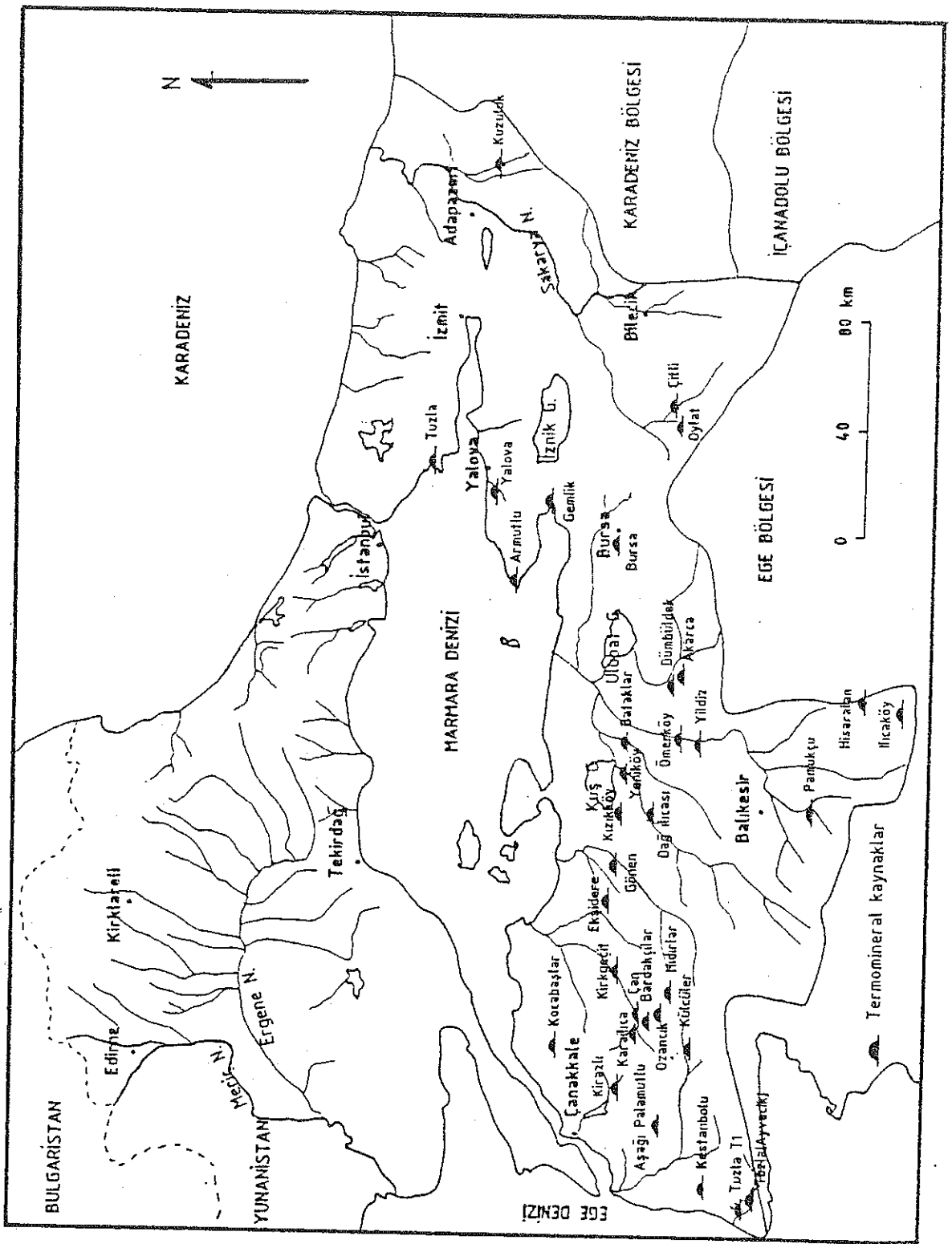
GİRİŞ

Marmara Bölgesi'nde gerçekleştirilen incelemede, ilk önce bölgede bulunan termomineral kaynaklarla ilgili olarak yapılmış eski çalışmalarla degenilmiş sonra ise Marmara Bölgesi'nin jeolojik ve hidrojeolojik özellikleri bölgelerel jeolojik konum kapsamında değerlendirilmiş ve termomineral kaynakların kimyasal analiz sonuçları, boşalım yerlerinin litolojileride dikkate alınarak hidrojeokimyasal özellikleri belirlenmiştir.

ÖNCEKİ ÇALIŞMALAR

Marmara Bölgesi'nde çeşitli amaçlar için büyük alanlarda gerçekleştirilen ilk çalışmaları sırasıyla Pınar (1943), Çağlar (1947), Avşaroğlu (1968), Erentöz ve Ternek (1968) yapmışlardır. Sonraki yıllarda ise Yenal ve diğerleri (1975), Türkiye Maden Suları Envanteri çi-karmak için Marmara Bölgesi'ndeki araştırmalarında bölgede bulunan 61 termomineral su kaynağının tam kimyasal analizini yapmış ve literatür ağırlıklı jeoloji

verileri ile kaynakların oluşumlarını açıklamıştır. Başkan ve Canik (1983), Türkiye sıcak ve mineralli sular haritası (Ege Bölgesi)'ni hazırlarken bölgenin jeolojik, hidrojeolojik özellikleri ve hidrojeokimyasal su türleri ile birlikte Marmara Bölgesi'nde bulunan 25 termomineral su kaynağı ile ilgili fizikokimyasal özellikler vermişlerdir. İlker (1988), Türkiye'de sağlık turizmi ve kaplıca planlaması adlı eserinde Marmara Bölgesi'nde faaliyette bulunan 10 termomineral suyun tam analiz raporlarına yer vererek etkili olduğu başlıca hastalıkları belirtmiştir. Ayrıca, araştırmasında sağlık turizminin gelişmesi için önemi her geçen yıl artan kürler hakkında bilgi ile Türkiye kaplıca ve içmeler kılavuzu da verilmiştir. Pehlivan ve Yılmaz (1995) Marmara Bölgesi termomineral kaynaklarının içilebilirliği ve insan sağlığına etkisi isimli araştırmalarında Marmara Bölgesi'nde bulunan 24 adet termomineral kaynağın içilebilirliklerine göre grupperlendirme yapılmış, termomineral kaynakların kimyasal analiz sonuçları Dünya sağlık örgütü (WHO) ve Türk standartları (TS)'nın maden ve kaynak suları için müsa-



Sekil 1. İnceleme alanı ve termomineral kaynaklarının bulduru haritası.

Figure 1. Location map of the investigated area and thermomineral sources.

de ettiği içme suyu değerleri ile karşılaştırmaları yapılmıştır.

BÖLGESEL JEOLOJİK KONUM JEOLÖJİ

Marmara Bölgesi'nin jeolojisi, Bingöl (1989) tarafından derlenen ve MTA Genel Müdürlüğü'nce basılan 1/2.000.000 ölçekli Türkiye jeoloji haritası esas alınarak ve bölgede yapılan özgün çalışmalara deşinmek suretiyle ele alınmıştır.

Sedimanter Kayaçlar: Türkiye Jeoloji Haritasında (Bingöl, 1989)'e göre Marmara Bölgesi'nde Paleozoyik, İstanbul Kocaeli yarımadasında, Adapazarı (Çamdağ) ve Bahkesir çevresinde görülür. Mesozoyik yaşılı birimler, Biga yarımadasında, Ulubat Gölü güneydoğusunda,

Çizelge 1. Marmara Bölgesi Termomineral Kaynakları

Table 1. Thermomineral sources of Marmara region

| İÇMELER | KAPLICALAR |
|-------------------------------------|-----------------------------------|
| Akarca (M. Kemal Paşa-Bursa) | Armutlu (Armutlu-Yalova) |
| Aşağı Palamuşlu (Bayrami Çanakkale) | Bardakçılar (Çan-Çanakkale) |
| Büyük içme (İstanbul) | Bataklar (Susurluk-Balıkesir) |
| Çitli (İnegöl-Bursa) | Bursa (Bursa) |
| Ekşidere (Gönen-Balıkesir) | Çan (Çan-Çanakkale) |
| Ilicaköy (Sındırı-Balıkesir) | Gemlik (Gemlik-Bursa) |
| Kuzuluk maden (Akyazı-Adapazarı) | Gönen (Gönen-Balıkesir) |
| Küçük içme (İstanbul) | Dağ İlicası (Balya-Balıkesir) |
| Kirazlı (Merkez-Çanakkale) | Düm慅ldek (Mustafakemalpaşa-Bursa) |
| Ömerköy (Susurluk-Balıkesir) | Hıdırlar (Yenice-Çanakkale) |
| | Hisaralan (Sındırı-Balıkesir) |
| | Karaılıca (Çan-Çanakkale) |
| | Kırkgeçit (Biga-Çanakkale) |
| | Kocababaşlar (Lapseki-Çanakkale) |
| | Kızılköy (Manyas-Balıkesir) |
| | Kılçılık (Bayramiç-Çanakkale) |
| | Kestanbol (Ezine-Çanakkale) |
| | Kuzuluk (Akyazı-Adapazarı) |
| | Oylat (İnegöl-Bursa) |
| | Ozancık (Çan-Çanakkale) |
| | Pamukçu (Balıkesir) |
| | Tuzla (Ayvacık-Çanakkale) |
| | Tuzla T1 (Ayvacık-Çanakkale) |
| | Yalova (Termal-Yalova) |
| | Yeniköy (Manyas-Balıkesir) |
| | Yıldız (Susurluk-Balıkesir) |

Çizelge 2. Marmara Bölgesi termomineral kaynaklarının kimyasal analiz sonuçları (değerler mg/l cinsindendir)
Table 2. Results of chemical analysis of the Marmara region thermomineral sources (values in mg/l)

| | Akarcı (2) | Armutlu (1) | Bataklar (2) | Bursa (2) | Büyük İçme(1) | Çitli (2) | Gönen (2) | Dağ ilicası(2) |
|--------------------------------|---------------|----------------|-----------------|--------------|------------------|--------------|--------------|-------------------|
| NH ⁴⁺ | 0.4 | 0.35 | - | - | - | - | - | - |
| Li ⁺ | 0.12 | - | 0.06 | 0.06 | - | 0.13 | 0.21 | 0.05 |
| Na ⁺ | 465.6 | 393 | 531.5 | 177 | 678 | 516.3 | 560.9 | 262.3 |
| K ⁺ | 62.1 | 25 | 23 | 26.3 | 20.4 | 23.4 | 37.5 | 5.47 |
| Ca ²⁺ | 301.8 | 295 | 96 | 112.6 | 207 | 111.3 | 44.1 | 14.4 |
| Mg ²⁺ | 13.1 | 26 | 9.79 | 5.3 | 108 | 7.06 | 1.40 | 2.01 |
| Fe ²⁺ | 3.2 | - | 0.17 | 0.15 | 0.27 | 0.13 | 1.25 | 0.13 |
| Al ³⁺ | 3.1 | 0.2 | 0.07 | 0.02 | - | 0.04 | 0.38 | - |
| Mn ²⁺ | - | - | - | - | - | - | - | - |
| Zn ²⁺ | 0.5 | - | - | - | - | 0.008 | - | - |
| Pb ²⁺ | - | - | - | - | - | - | - | - |
| Cr ³⁺ | - | - | - | - | - | - | - | - |
| Cu ²⁺ | - | - | - | - | 0.04 | - | - | - |
| Hg ²⁺ | - | - | - | - | 0.005 | - | - | - |
| Tl ²⁺ | - | - | - | - | - | - | - | - |
| As ³⁺ | - | - | 0.05 | - | 0.005 | - | 0.021 | 0.08 |
| B ³⁺ | 2.2 | - | 6.3 | 2.5 | - | 1.1 | 06.4 | 1.8 |
| Cl ⁻ | 69 | 233 | 634 | 12 | 1260 | 31 | 278 | 91 |
| I ⁻ | 0.01 | 1.8 | - | - | - | - | 0.06 | - |
| Br ⁻ | - | - | 0.04 | - | 0.6 | - | 0.05 | 0.02 |
| F ⁻ | 1.02 | 0.4 | 1.5 | 3.16 | - | 0.32 | 6.0 | 8.7 |
| SO ₄ ²⁻ | 104 | 757 | 90 | 245 | 299 | 87.5 | 616 | 365 |
| NO ₃ ⁻ | 2.04 | 0.4 | 0.05 | 0.05 | 8.8 | 4.2 | 19 | - |
| HPO ₄ ²⁻ | 0.5 | - | 0.38 | 1.1 | 0.14 | 0.49 | 0.12 | 0.28 |
| HCO ₃ ⁻ | 2105 | 487 | 590 | 539.2 | 426 | 1988.6 | 397.7 | 112.2 |
| CO _{2(g)} | 1080.6 | 25.86 | 101.2 | 129.4 | - | 343 | 25.5 | - |
| SiO ₂ | 41 | 40 | - | 82 | - | 28 | 59 | 46 |
| T(°C) | 17 | 57 | 60 | 47 | 19 | 13.5 | 52 | 63 |
| pH | 6.13 | 7.7 | 6.52 | 6.98 | 6.9 | 7.26 | 7.36 | 7.94 |
| E _c (μmho/cm) | 2880 | 2600 | 1700 | 590 | 4280 | 5040 | 1250 | 600 |
| α aktivite | 20.56 | 14.7 | 37.81 | 9.76 | 3.71 | 2.66 | 18.85 | - |
| β aktivite | 67.76 | 20.8 | 33.13 | 8.92 | 29.43 | 22.0 | 27.11 | - |

Kaynaklar

(1) Pehlivian, R. ve Yilmaz, O.(1995)

(2) Yenal ve diğerleri (1975)

Çizelge 2. (Devam ediyor)
Table 2. (Continued)

| | Dümbüldenek (2) | Ekşidere (2) | Hisaralan (2) | Ilicaköy (2) | Karakılıç (1) | Kestanbolu (2) | Kuzuluk Maden(1) | Kuzuluk sıcak (1) |
|--------------------------------|-----------------|--------------|---------------|--------------|---------------|----------------|------------------|-------------------|
| NH ₄ ⁺ | 0.4 | - | - | - | - | - | - | 3.5 |
| Li ⁺ | 0.13 | 0.01 | 0.01 | 0.01 | - | 1.29 | - | 3.5 |
| Na ⁺ | 502.4 | 22.9 | 275.2 | 24.9 | 1294 | 7214.2 | 1789 | 740 |
| K ⁺ | 91.8 | 1.95 | 26.5 | 1.09 | 20.2 | 212.1 | 77 | 37 |
| Ca ²⁺ | 195.1 | 55.68 | 23.8 | 68.16 | 112 | 847.1 | 109.2 | 103 |
| Mg ²⁺ | 3.7 | 5.18 | 2.3 | 10.3 | 6.2 | 65.6 | 50.8 | 19 |
| Fe ²⁺ | 2.5 | 0.05 | - | - | - | 6.25 | 4.8 | - |
| Al ³⁺ | 2.17 | 0.15 | - | 0.01 | - | 1.0 | 2.5 | - |
| Mn ²⁺ | 0.3 | - | - | - | 0.62 | - | - | - |
| Zn ²⁺ | 0.04 | - | - | - | - | 0.348 | - | - |
| Pb ²⁺ | - | - | - | - | - | - | - | - |
| Cr ³⁺ | - | - | - | - | - | - | - | - |
| Cu ²⁺ | - | - | - | - | 0.05 | - | - | - |
| Hg ²⁺ | - | - | - | - | 0.005 | - | - | - |
| Ti ²⁺ | - | - | - | - | - | - | - | - |
| As ³⁺ | 0.008 | 0.36 | 0.05 | 0.01 | 0.017 | 0.003 | - | 0.01 |
| B ³⁺ | 2.2 | 0.11 | 4.5 | - | - | 7.5 | 0.2 | 27 |
| Cl ⁻ | 64 | 12.4 | 88.5 | 18.4 | 95.7 | 12750 | 759.7 | 388.1 |
| I ⁻ | 0.01 | - | 0.005 | - | - | 0.23 | - | - |
| Br ⁻ | - | 0.01 | 0.01 | 0.008 | - | 0.48 | - | - |
| F ⁻ | 1.84 | 2 | 0.72 | 0.8 | - | 4.2 | - | - |
| SO ₄ ²⁻ | - | 14 | 80.5 | 8.5 | 839 | 90.5 | 55 | 58 |
| NO ³⁻ | 2.03 | - | - | 0.03 | 0.015 | 0.77 | - | - |
| HPO ₄ ²⁻ | 1.47 | 0.17 | 1.48 | 0.46 | 42.5 | 3.83 | 5.3 | - |
| HCO ³⁻ | 2005.6 | 212.2 | 600.2 | 282.9 | - | 305 | 3026 | 1776 |
| CO _{2(g)} | 432.9 | 15.4 | 42.68 | 215.1 | - | 234.9 | - | 153 |
| SiO ₂ | 52 | 22 | 79 | 12 | 50 | 62 | 25 | 131 |
| T(oC) | 47 | 44 | 98 | 32 | 49 | 74 | 14 | 44 |
| pH | 6.43 | 7.2 | 7.06 | 7.04 | 7.8 | 5.92 | 7.0 | 7.4 |
| Ec(μmho/cm) | 2800 | 2650 | 710 | 2390 | 16000 | 27000 | 130 | 3650 |
| α aktivite | 43.44 | 8.19 | 3.40 | - | - | 501.45 | - | - |
| β aktivite | 82.25 | 3.18 | 16.61 | - | - | 701.76 | - | - |

Kaynaklar

(1) Pehlivan, R. ve Yılmaz, O. (1995)

(2) Yenal ve diğerleri (1975)

Çizelge 2. (Devam ediyor)

Table 2. (Continued)

| | Küçük İçme (1) | Oylat (2) | Ömerköy (2) | Pamukçu (2) | Tuzla (1) | Tuzla T1(2) | Yalova (1) | Yıldız (2) |
|--------------------------------|-------------------|--------------|----------------|----------------|--------------|----------------|---------------|---------------|
| NH ⁴⁺ | - | - | - | - | 3.1 | 2.66 | - | - |
| Li ⁺ | - | 0.002 | 0.02 | 0.09 | | 74 | | 0.06 |
| Na ⁺ | 501 | 17.9 | 74.48 | 110 | 18600 | 22250 | 228.54 | 552 |
| K ⁺ | 10.5 | 4.3 | 10.1 | 19.9 | 1824 | 2125 | 5.86 | 23 |
| Ca ²⁺ | 189 | 129.2 | 95.5 | 58 | 1894 | 5715 | 197.74 | 98.4 |
| Mg ²⁺ | 68 | 7.06 | 17.5 | 4.03 | 72 | 101 | 2.29 | 12 |
| Fe ²⁺ | 0.04 | 0.1 | 0.02 | - | 1.22 | 0.1 | 0.25 | 2.97 |
| Al ³⁺ | - | 0.11 | 0.13 | 0.07 | | 0.49 | - | |
| Mn ²⁺ | - | - | - | - | 6.0 | | - | 0.03 |
| Zn ²⁺ | - | 0.04 | - | - | - | | 0.015 | - |
| Pb ²⁺ | - | - | - | - | - | | - | - |
| Cr ³⁺ | - | - | - | - | - | | - | - |
| Cu ²⁺ | 0.05 | - | - | - | 0.1 | | - | - |
| Hg ²⁺ | 0.005 | | | | 0.005 | 0.001 | | |
| Ti ²⁺ | | - | 0.5 | - | | | - | - |
| As ³⁺ | 0.001 | - | 0.05 | 0.22 | 0.0224 | | - | 0.05 |
| B ³⁺ | | 0.22 | - | 1.9 | | 35 | | 6.1 |
| Cl ⁻ | 920 | 8 | 15.2 | 97.5 | 34700 | 44140 | 95.71 | 676 |
| I ⁻ | | - | - | 0.006 | 0.9 | 1.0 | - | 0.003 |
| Br ⁻ | 0.9 | - | 0.02 | 0.02 | | | 0.01 | 0.04 |
| F ⁻ | | 0.22 | 1.3 | 3.2 | 2.5 | 4.3 | 3.50 | 0.6 |
| SO ₄ ²⁻ | 198 | 215 | 145 | 89.5 | 171 | 176 | 805.5 | 89 |
| NO ³⁻ | 9.1 | 0.66 | - | 0.03 | 1.05 | 1.85 | - | 0.18 |
| HPO ₄ ²⁻ | 0.88 | 0.45 | 0.2 | 0.8 | | | | 0.42 |
| HCO ₃ ⁻ | 429 | 194.11 | 373.3 | 241.5 | 87 | 55 | 48.8 | 592.9 |
| CO _{2(g)} | | 13.84 | 37.84 | 23.32 | | | 4.4 | 135 |
| SiO ₂ | | 21 | 18 | 60 | 120 | 123 | 34.7 | 30 |
| T(°C) | 19 | 40 | 31.5 | 51 | 73 | 173 | 61 | 47 |
| pH | 7.0 | 7.26 | 6.67 | 7.2 | 7.0 | 7.0 | 7.75 | 6.54 |
| Ec(μmho/cm) | 2450 | 7400 | 430 | 1150 | 53500 | 57.000 | 1500 | 2810 |
| α aktivite | 3.39 | 3.73 | 7.05 | | | | 1.63 | |
| β aktivite | 20.49 | 9.07 | 9.97 | | | | 3.55 | |

Kaynaklar

(1) Pehlivan, R. ve Yılmaz, O.(1995)

(2) Yenal ve diğerleri (1975)

rinde metamorfizma olayı Paleozoyik'te veya daha önce başlamış ve Jura-Alt Kretase sonuna kadar etkinliğini sürdürmüştür (Ketin, 1983). Diğer taraftan Bingöl (1989) tarafından hazırlanan Türkiye Jeoloji Haritası'nda söz konusu masiflerin Prekambriyen yaşında olduğu belirtilmiştir.

Mağmatik Kayaçlar: Marmara Bölgesi mağmatik kayaçları Türkiye'nin doğu-batı yönlü hakim tektonik yapısı ile uyumluluk sunar. Genel tektonik gidiş uyumlu olarak kuzyede; İstranca Masifi plütonları, Çatalca-Çavuşbaşı (İstanbul) ve Sancaktepe (Gebze) arasında granitoidler, daha güneye doğru sırasıyla Armutlu, Kapıdağı, Karabığa ve Şevketiye plütonları sıralanımı ile Ezine ve İnegöl arasında ise Kestanbol, Karaköy-Çavuşlu, Eybekdağı, Çataldağı ve Uludağ plütonları aynı yatay çizgi üzerinde bulunurlar (Aslaner, 1983).

Vokanik Kayaçlar: Marmara Bölgesi'nde bulunan volkanik kayaçlar oluşum yaşları itibarıyle Üst Kretase ve Tersiyer volkanitleri olarak sınıflanır. En yoğun bulundukları yerleşim merkezleri göz önüne alınarak isimlendirilmiş olan volkanitlerden Üst Kretase yaşı olanları Demirköy ile İstanbul-Şile, Tersiyer yaşı olanları ise Armutlu, Mudanya-İznik, Gönen-Manyas-Susurluk, Edremit-Balya, Gülpınar, Ayvacık, Çanakkale-Bayramiç-Bığa ve Enez-Keşan-İpsala volkanitleridir.

HİDROJEOLÖJİ

Bölgelerde, günümüzde kullanılan tek veya bir kaç tanesi bir arada olan birbirlerinden farklı lokasyonlardaki 36 adet termomineral kaynağı (Şekil 1) 10'u içme ve 26 tanesi kaplıcadır (Çizelge 1). Termomineral kaynakların bulunduğu lokasyonlarda yeraltısu içeren hidrojeolojik ortamlar incelendiğinde, litolojik karakteristikleri yukarıda verilmiş olan kayaç gruplarının hidrojeolojik özelliklerine göre farklılıklar sunduğu anlaşılmaktadır. Termomineral kaynakların boşalığı lokasyonlar dolaylarında mostra veren kayaçlardan granitoidler dışındaki birimlerin, yeraltısu potansiyeline önemli sayılabilecek derecede katkısı vardır. Marmara Bölgesi termomineral kaynaklarının vadoz (atmosferik) veya miiks (karışık) kökenli sular olması da bu görüşü destekler niteliktir.

HİDROJEOKİMYA

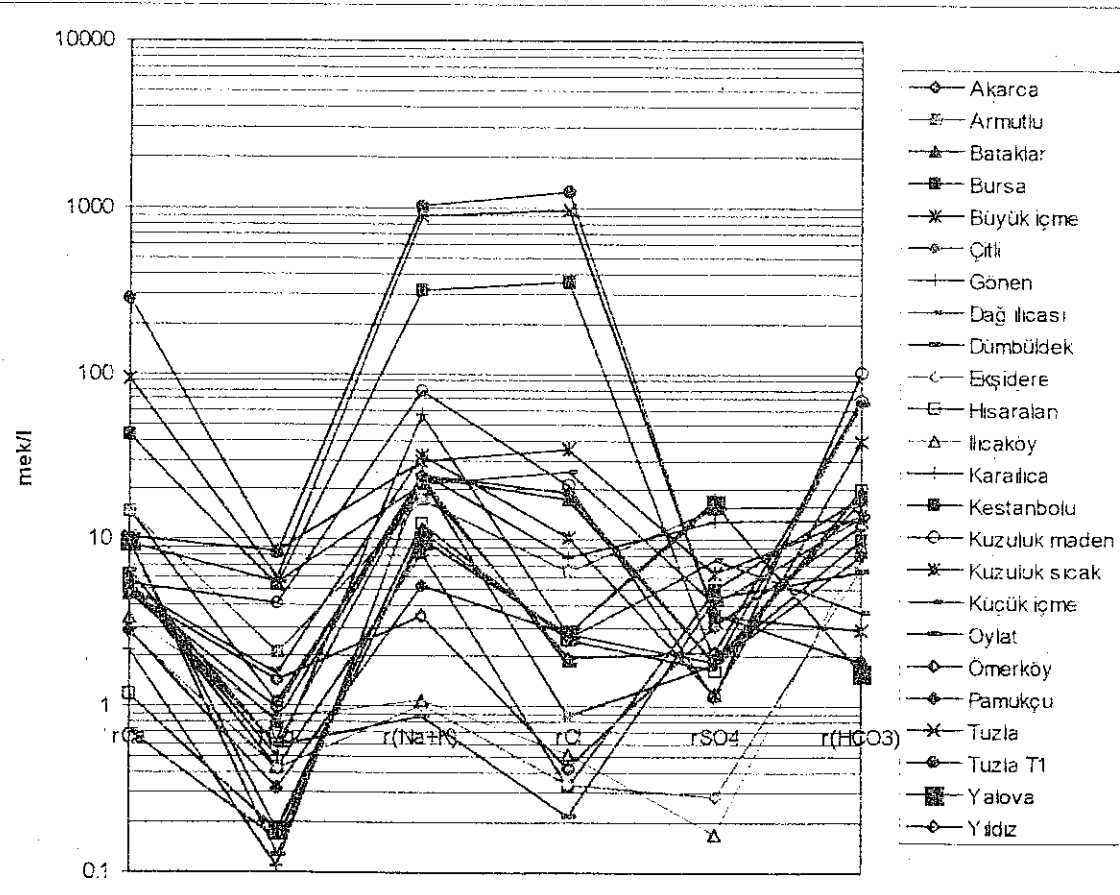
Bu bölümde, ilk önce Marmara Bölgesi termomineral kaynaklarıyla ilgili olarak tarafımızdan Büyük içme, Küçük içme, Kuzuluk maden, Kuzuluk sıcak, Yalova, Armutlu, Karailica ve Tuzla termomineral kaynakları için İÜMF, ÇNAEM ile TÜBİTAK-Gebze'de yapılan (8 adet) kimyasal analiz sonucu ile daha önceki yıllarda Yenal v.d. (1975) tarafından yapılmış olan (16 adet) termomineral kaynağın kimyasal analiz sonuçları Çizelge 2'de verilmiştir. Daha sonra söz konusu kaynakların kimyasal analiz sonuçları hidrojeokimyasal olarak incelenmiştir.

Yarı Logaritmik Schoeller Diyagramı

Bilindiği gibi, Marmara Bölgesi termomineral kaynaklarının çoğunluğu atmosferik (vadoz) ve miiks (karışık) kökenli sularдан oluşur. Bu tür sular yerin derinliklerine inerken ve ıslıp tekrar yukarı doğru yükselirken temas ettikleri litolojik birimlerden mineral yüklenir ve iyon alışverişi yaparlar. Dolayısıyla termomineral suların kimyasal bileşimleri büyük oranda rezervuar kayaçların mineralojik bileşimleriyle ilişkilidir. Bunun için Çizelge 2'deki verilerden hesaplanan mek/l (mili ekivalen/l) değerleri Yarı logaritmik Schoeller diyagramına (Schoeller, 1962) aktarılmış ve suların ideal iyon dizilimleri grafiksel olarak Şekil 2'de, anyon ve katyonların bolluklarına göre dizilimleri ise Çizelge 3'de verilmiştir. Yarı logaritmik Schoeller diyagram'nda katyonlara göre yapılan değerlendirmeler sonucunda, değerlendirmeye tabii tutulan 24 termomineral kaynakta 20 termomineral kaynağın katyon diziliminin $r(\text{Na}+\text{K}) > r\text{Ca} > r\text{Mg}$, 4 kaynağın (Ekşidere, İlıcaköy, Oylat ve Ömerköy) katyon sıralanımının ise $r\text{Ca} > r(\text{Na}+\text{K}) > r\text{Mg}$ şeklinde olduğu tesbit edilmiştir (r : % mili ekivalen/l). Diğer taraftan anyonlarına göre yapılan değerlendirmelerde ise 15 termomineral kaynakta $r(\text{HCO}_3)$ (9 tanesi $r(\text{HCO}_3) > r\text{SO}_4 > r\text{Cl}$, 6 tanesi $r(\text{HCO}_3) > r\text{Cl} > r\text{SO}_4$, 6 kaynakta Cl (4 tanesi $r\text{Cl} > r(\text{HCO}_3) > r\text{SO}_4$, 2 tanesi $r\text{Cl} > r\text{SO}_4 > r(\text{HCO}_3)$, 3 kaynakta (Dağ ilçesi, Karailica ve Yalova) ise $r\text{SO}_4$ (2 tanesi $r\text{SO}_4 > r\text{Cl} > r(\text{HCO}_3)$, 1 tanesi $r\text{SO}_4 > r(\text{HCO}_3) > r\text{Cl}$) iyonlarının ilk sırada bulunduğu görülmüştür. Böylelikle, Marmara Bölgesi termomineral kaynaklarının katyon dizilimleri literatürde verilen (Şahinçi, 1991) asit kayaç (granit, granodiorit, riolit, andezit, dasit vb.) ($r\text{Ca} > r\text{Mg} > r(\text{Na}+\text{K})$, $r(\text{HCO}_3) > r\text{SO}_4 > r\text{Cl}$), volkanik kayaç ($r(\text{Na}+\text{K}) > r\text{Ca} > r\text{Mg}$, $r\text{SO}_4 > r\text{Cl} > r(\text{HCO}_3)$), metamorfik kayaç ($r\text{Ca} > r\text{Mg} > r(\text{Na}+\text{K})$, $r(\text{HCO}_3) > r\text{Cl} > r\text{SO}_4$), kireçtaşı ($r\text{Ca} > r\text{Mg} > r(\text{Na}+\text{K})$, $r(\text{HCO}_3) > r\text{SO}_4 > r\text{Cl}$), dolomit ($r\text{Mg} > r\text{Ca} > r(\text{Na}+\text{K})$, $r(\text{HCO}_3) > r\text{SO}_4 > r\text{Cl}$) ve kumtaşı ($r\text{Ca} > r\text{Mg} > r(\text{Na}+\text{K})$, $r(\text{HCO}_3) > r\text{SO}_4 > r\text{Cl}$) gibi litolojik birimlerden gelen suların dizilimleriyle benzer çıkarken anyon dizilimlerinde sapmalar gözlenmiştir. Termomineral kaynakları oluşturan değişik türdeki (atmosferik, jüvenil ve karışık) sular yerin derinliklerine inerken, ikinci ortamda dolaşırken ve yüzeye doğru hareket ederken geçikleri ortamların litolojik özellikleri, tektonik yapısı, fiziksel ve kimyasal özellikleri ve ayrışma dereceleri vb. gibi etkenlerin etkisiyle iyon yüklenirler. Termomineral suların ilk kimyasal bileşimleri temas halinde oldukları birbirlerinden farklı litolojik birimlerden (kayaç, mineral, cevher) çözerek bünyelerine aldıkları iyonlar yüzünden değişebilir. Bu durum, Marmara Bölgesi termomineral kaynaklarındaki anyon dizilimlerini etkilemiş olmalıdır.

Piper Diyagramı

Çizelge 2'deki verilerden hesaplanan %mek/l değerlerine göre incelenen termomineral kaynakların Piper di-



Şekil 2. Termomineral kaynaklarının yarı logaritmik Schoeller diyagramı.

Figure 2. Semi logarithmic Schoeller diagram of the thermomineral sources.

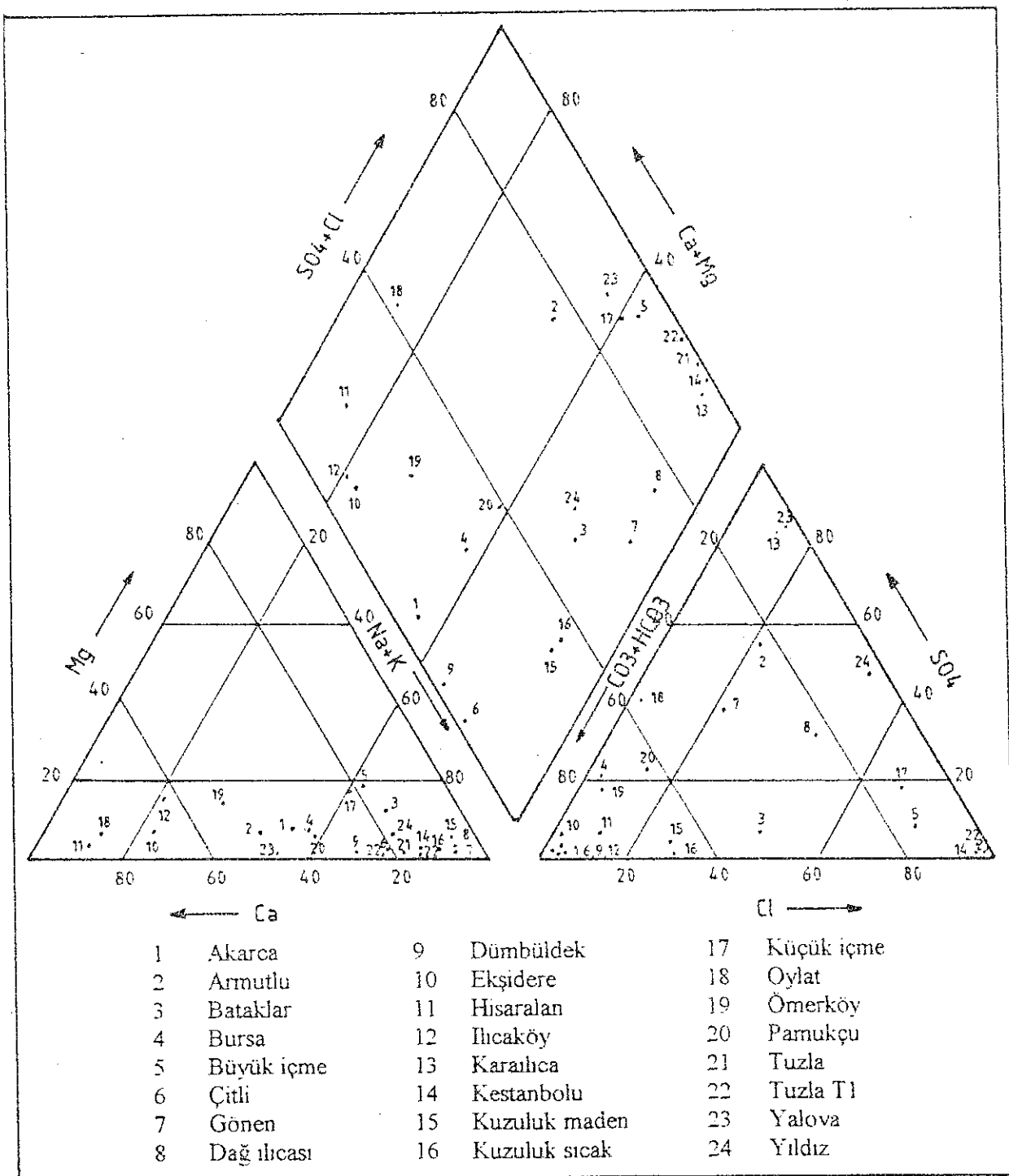
yağramındaki konumları Şekil 3'de verilmiştir. Şekilde görüldüğü gibi termomineral kaynaklar katyon oranlarına göre; 1) Na+K oranı yüksek sular (3, 5, 7, 8, 14, 15, 16, 21, 22 ve 24 nolu kaynaklar), 2) Na+K oranı yüksek kalsiyumlu sular (1, 2, 4, 19, 20 ve 23 nolu kaynaklar), 3) (Na+K)-kalsiyumlu sular (10 ve 12 nolu kaynaklar), 4) Kalsiyum oranı çok yüksek sular (11 ve 18 nolu kaynaklar) olmak üzere dört gruba dağılmıştır. Termomineral kaynaklar anyon oranlarına göre ise 1) Karbonat oranı çok yüksek sular (1, 6, 9, 10, 11, 12 ve 19 nolu kaynaklar), 2) Klorür oranı çok yüksek sular (5, 14, 17, 21 ve 22 nolu kaynaklar), 3) Karbonat oranı yüksek klorürülu sular (15 ve 16 nolu kaynaklar), 4) Karbonatlı klorürülu su (3 nolu kaynak), 5) Karbonat oranı yüksek sülfatlı sular (4 ve 20 nolu kaynaklar), 6) Karbonatlı sülfatlı su (18 nolu kaynak), 7) Karbonatlı klorürülu sülfatlı sular (2, 7 ve 8 nolu kaynaklar), 8) Sülfat oranı çok yüksek sular (13 ve 23 nolu kaynaklar), 9) Sülfatlı klorürülu su (24 nolu kaynak) gruplarına dağılmıştır.

Termomineral kaynaklar, Piper paralel kenar diyagramında ise genel olarak $Na + K > Ca + Mg$ ve $(CO_3 +$

$HCO_3) > SO_4 + Cl$ şeklinde dizilmekte, katyon ve anyonları % 60'ı geçen karışık sular alanlarına dağılmaktadır. Böylece Piper diyagramlarından elde edilen sonuçlarla Yarı logaritmik Schoeller diyagramından elde edilen sonuçların uyumlu olduğu ve birbirlerini desteklediği söylenebilir.

SONUÇ

Marmara Bölgesi termomineral kaynaklarının hidrojeokimyasal özelliklerini belirlemek için kullanılan su içerisinde bulunan iyonlardan $Na + K$, Ca ve Mg katyonları ile Cl , SO_4 ve $(CO_3 + HCO_3)$ anyonlarının Yarı logaritmik Schoeller ve Piper diyagramları değerlendirilmesi sonucunda katyon dizilimlerinin benzer, anyon dizilimlerinde ise farklılıkların bulunduğu gözlenmiştir. Bu duruma yerin derinliklerinden yüzeye doğru hareket ederken iyon yüklenen termomineral suların geçitleri ortamların litolojik özellikleri, tektonik yapıları, fiziksel ve kimyasal özellikleri ile ayırtma dereceleri vb. gibi etkenlerin farklılığı sebep olmuş olmalıdır.



Şekil 3. Termomineral kaynaklarının Piper diyagramı.

Figure 3. Piper diagram of the thermomineral sources.

Çizelge 3. Termomineral kaynaklarındaki iyonların yarı logaritmik Schoeller diyagramına göre dizilimi

Table 3. Ions exist in thermomineral sources are represented according to semi logarithmic Schoeller diagram

| Termomineral kaynak | Boşalım yeri litolojisi | Katyon | Anyon |
|----------------------------------|-------------------------|--------------------|---|
| Akarca (M.Kemal Paşa-Bursa) | Sedimanter | r(Na+K) > rCa >rMg | r(HCO ₃) > rSO ₄ >r Cl |
| Armutlu (Armutlu-Yalova) | Vulkanik | r(Na+K) > rCa >rMg | r(HCO ₃) > rSO ₄ >r Cl |
| Bataklar (Susurluk-Balıkesir) | Vulkanik | r(Na+K) > rCa >rMg | r(HCO ₃) > rCl > rSO ₄ |
| Bursa (Bursa) | Sedimanter | r(Na+K) > rCa >rMg | r(HCO ₃) > rSO ₄ >r Cl |
| Büyük içme (İstanbul) | Altivyon | r(Na+K) > rMg >rCa | rCl > rSO ₄ >r(HCO ₃) |
| Citli (İnegöl-Bursa) | Sedimanter | r(Na+K) > rCa >rMg | r(HCO ₃) > rSO ₄ >r Cl |
| Gönen (Gönen-Balıkesir) | Altivyon | r(Na+K) > rCa >rMg | r(HCO ₃) > rSO ₄ >r Cl |
| Dağ İlçesi (Balya-Balıkesir) | Granit | r(Na+K) > rCa >rMg | rSO ₄ >r(HCO ₃) >rCl |
| Dümübük (M.Kemal Paşa-Bursa) | Sedimanter | r(Na+K) > rCa >rMg | r(HCO ₃) >rCl |
| Ekşidere (Gönen-Balıkesir) | Vulkanik | rCa > r(Na+K) >rMg | r(HCO ₃) >rCl > rSO ₄ |
| Hisaralan (Sındırı-Balıkesir) | Vulkanik | r(Na+K) > rCa >rMg | r(HCO ₃) >rCl > rSO ₄ |
| Ilıcaköy (Sındırı-Balıkesir) | Vulkanik | rCa > r(Na+K) >rMg | r(HCO ₃) >rCl > rSO ₄ |
| Karaağaç (Çan-Çanakkale) | Vulkanik | r(Na+K) > rCa >rMg | rSO ₄ >rCl >r(HCO ₃) |
| Kestanbolu (Ezine-Çanakkale) | Granit | r(Na+K) > rCa >rMg | rCl >r(HCO ₃) >rSO ₄ |
| Kuzuluk maden (Akyazı-Adapazarı) | Vulkanik | r(Na+K) > rCa >rMg | r(HCO ₃) >rCl > rSO ₄ |
| Kuzuluk sıcak (Akyazı-Adapazarı) | Taraça | r(Na+K) > rCa >rMg | r(HCO ₃) >rCl > rSO ₄ |
| Küçük içme (İstanbul) | Altivyon | r(Na+K) > rCa >rMg | rCl > rSO ₄ >r(HCO ₃) |
| Oylat (İnegöl-Bursa) | Sedimanter | rCa > r(Na+K) >rMg | r(HCO ₃) >rSO ₄ >r Cl |
| Ömerköy (Susurluk-Balıkesir) | Sedimanter | rCa > r(Na+K) >rMg | r(HCO ₃) >rSO ₄ >r Cl |
| Pamukçu (Balıkesir) | Altivyon | r(Na+K) > rCa >rMg | r(HCO ₃) >rCl > rSO ₄ |
| Tuzla (Ayvacık-Çanakkale) | Vulkanik | r(Na+K) > rCa >rMg | rCl > rSO ₄ >r(HCO ₃) |
| Tuzla T1 (Ayvacık-Çanakkale) | Vulkanik | r(Na+K) > rCa >rMg | rCl > rSO ₄ >r(HCO ₃) |
| Yalova (Termal-Yalova) | Vulkanik | r(Na+K) > rCa >rMg | rSO ₄ >rCl >r(HCO ₃) |
| Yıldız (Susurluk-Balıkesir) | Vulkanik | r(Na+K) > rCa >rMg | rCl >r(HCO ₃) >rSO ₄ |

DEĞİNİLEN BELGELER

Aslaner, M. (1983): Kor ve kor kırtılı kayaçlar, K.T.İ., No:12, Trabzon

Avşaroğlu, M.(1968): Türkiye kaplıcaları ve içmeler kılavuzu, Cebeci, Ankara

Başkan, E. M., Canik, B.(1983): Türkiye sıcak ve mineralli sular haritası, Ege Bölgesi, MTA, No: 189, Ankara

Bingöl, E. (1989): Türkiye jeoloji haritası (1/2.000.000 ölçekli), MTA, Ankara

Çağlar, K. Ö. (1947): Türkiye maden suları ve kaplıcaları, No:11, MTA, Ankara

Erentöz, C., Ternek, Z. (1968): Türkiye'de termomineral kaynaklar ve jeotermik enerji etütleri, MTA, Sayı: 70, Ankara

Kefin, İ. (1983): Türkiye jeolojisine genel bir bakış, ITÜ, Sayı: 1259, İstanbul

Schoeller, H. (1962): Les eaux souterraines, 1 vol., 642p. Masson et cie., Paris

MARMARA BÖLGESİ TERMOMİNERAL KAYNAKLARININ HİDROJEOKİMYASI

- Pehlivan, R., Yılmaz, O. (1995): Marmara Bölgesi termomineral kaynaklarının içilebilirliği ve insan sağlığına etkisi, Jeoloji Mühendisliği Dergisi, 47, 21-27, Ankara
- Pınar, N. (1943): Marmara Denizi havzasının sismik jeoloji ve meteorolojisi, İ. Ü. Fen Fak. Monografileri, Sayı: 5, 64s., İstanbul
- Şahinci, A. (1991): Doğal suların jeokimyası, reform matbaası, 546s., Beyler-İzmir
- Ülker, İ. (1988): Türkiye'de sağlık turizmi ve kaplıca planlaması, Turizm Bakanlığı yayını, 317S., No. 1006/129, Ankara
- Yenal, O., Kanan, E., Bilecen, L., Öz, G., Öz, İ., Göksel, A., Alkan, H., Kutluat, S., Yassa, K., (1975): Türkiye maden suları, Marmara Bölgesi, Sayı: 2, Sayfa: 212, İ. Ü. Tıp Fak. Hidro-klimatoloji Kürsüsü, İstanbul

yük çoğunuğu ikincil yataklardan sağlanmaktadır. Bu çalışmanın amacı İyidere Havzası içinde yüzeylenen granitoyidler ve bazik volkanitlere bağlı olarak oluşan plaserlerde zirkon ve ilmenit birlaklığını ortaya koyarak Zr ve Ti mineralerinin dere ve sahil sedimentleri içindeki zenginleşme oranlarını saptamaktır.

BÖLGESEL JEOLOJİK KONUM

Karadeniz Bölgesinde Paleozoyik, Mesozoyik, Terziyeler ve Kuvaterner yaşı birimler yaygındır. Bu birimler içinde granitoyidler geniş kuşaklar halindedir. Bu kuşaklar batıda Kastamonu Granitoyidleri, doğuda ise Gümüşhane Granitoyidi ve Rize Granitoyidleri olarak tanımlanmıştır. Çoğulu (1970) Rize ve Gümüşhane civarında yapmış olduğu çalışmada bazikten- asidiye, çeşitli kayaç gruplarını belirlemiştir. Çalışma alanında yüzeylenen ve İkizdere Yöresi Granitoyidi ismi verilen (Yılmaz ve diğ. 1995) granitoyidler, Rize Granitoyidlerinin Ordu güneyinden Yusufeli kuzeyine kadar uzanan en büyük mostrasının merkezi kısmında yer almaktadır. Özellikle İyidere tarafından ağaçlanan ve Rize - İspİR yolunun yer aldığı İkizdere civarında Taner (1977), tüm mağmatik kayaçları ayrıntılı olarak incelemiştir ve yöredeki asidik plütonları granodiyorit, tonalit, kuvars diyorit, olarak ayırmıştır. İkizdere yöresinde granitoyidlerle birlikte yüzeylenen Kretase yaşı volkano-sedimanter birimler geniş alanlar kaplamaktadır. Volkanizma genellikle bazik karakterdedir. Bununla beraber ortaç ve asidik bileşimli volkanitlere de rastlanır. Bunların bir kısmı Rize Granitoyidleri tarafından kontakt metamorfizmaya uğratılmıştır (hornblend metadiyabaz, aktinolit - plajiyoklaz - epidot metadiyabaz, albit - epidot - klorit metadiyabaz ve porfi-

rik metadiyabazlar). Taner (1977) bu kesimde yüzeylenen bu volkano - sedimanter birimleri ikiye ayırmıştır.

a. Alt Kretase yaşı volkano - sedimanter istif: Tabanda bir kireçtaş seviyesi ve bunun üzerine gelen karmaşık bir volkano sedimanter istiften ibarettir. Volkanizma genellikle bazik karakterlidir. Yer yer ortaç ve asidik bileşimli kayaçlara da rastlanır.

b. Üst Kretase yaşı volkano - sedimanter istif: Bu seri de bazik volkanikler, andezitler, dasitlerle bunların piroklastik ürünlerini ve pelajik kireçtaşlarından ibarettir.

MİNERALOJİK- PETROGRAFİK VE LİTOJEKİMİYASAL İNCELEME

Taner (1977) İkizdere yöresi granitoyidinde yapmış olduğu çalışmada 3 ayrı kayaç grubu belirlemiştir.

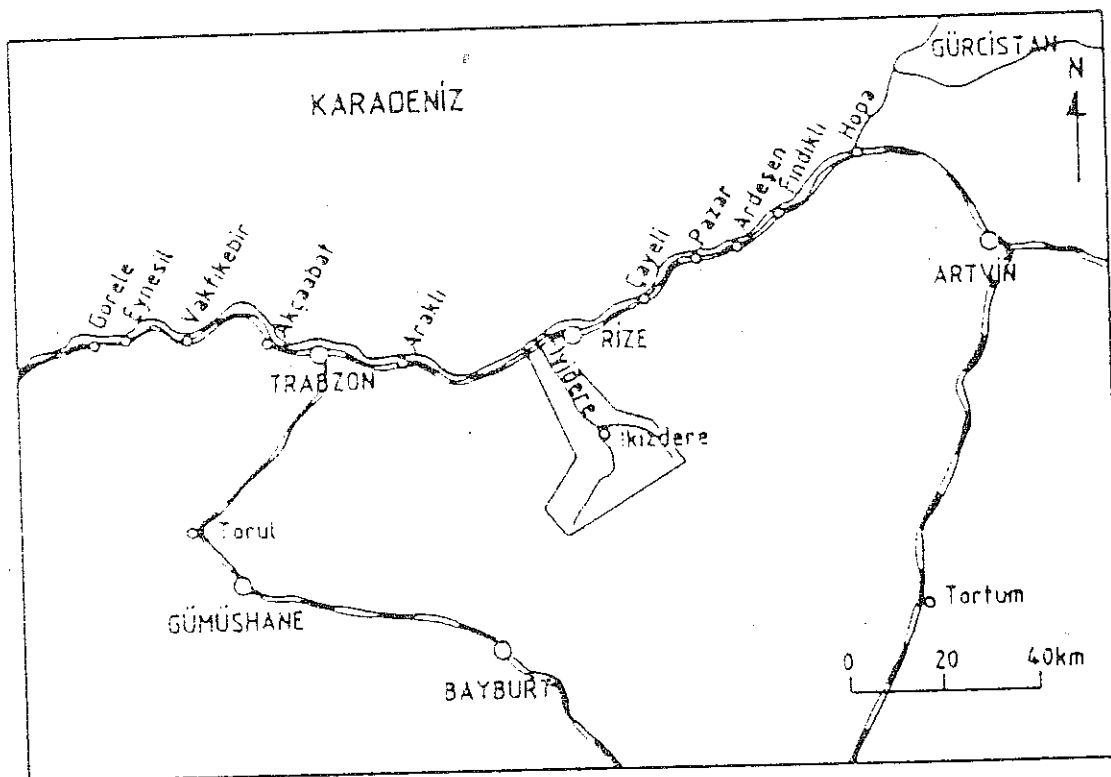
Granodiyorit: Ana mineral olarak plajiyoklaz, kuvars, K-feldispat, biyotit, amfibol, ikincil mineral olarak sfen, zirkon, apatit, allanit ve opak mineralleri içermektedir. Modal analiz sonucunda granodiyorite ait 4 adet kayaç örneğinde apatit, zirkon ve sfen toplamını kapsayan ortalama % 0.32 ikincil mineral belirlenmiştir.

Tonalit: Ana mineral olarak, plajiyoklaz, kuvars, hornblend, ikincil mineral olarak da opak minerallerden ilmenit, manyetit, sfen, zirkon, apatit ve allanit gibi mineraller bulunmaktadır. Modal analiz sonucunda 3 adet tonalit örneğinde ferromagnezyen mineraler (klorit, hornblend ve epidot) ve opak mineraller (ilmenit) ortalama % 7.4 civarında, sfen, apatit ve zirkondan oluşan

Cizelge 1. İkizdere Yöresi Granitoyidinde (İYG) Taner (1977) tarafından belirlenen kayaç türlerinin analiz sonuçlarına göre ortalama değerleri ve Clarke (1992) A/CNK(mol (AL₂O₃ / CaO + Na₂O + K₂O)) ve NK/A oranlarına göre kökensel sınıflaması. (A/CNK > 1 = Peralümino, A/CNK < 1 ve A > NK Metalümino, A/CNK < 1 ve A < NK Peralkaline)

Table 1. The average result of the analysis of İkizdere Granitoyid (İYG) that was defined by Taner (1977) and according to the proportion of A/CNK A/CNK (molar (AL₂O₃ / CaO + Na₂O + K₂O)) and A/NK Clarke (1992) genetically classification. (A/CNK>1=Peraluminous, A/CNK < 1 and A>NK Metaluminous, A/CNK< 1 and A<NK Peralkaline

| Bileşenler | Granodiyorit | Tonalit | Kuvars diyorit |
|---------------------------------|--------------|-------------|----------------|
| SiO ₂ (%) | 72.21 | 73.60 | 59.78 |
| Al ₂ O ₃ | 14.06 | 13.10 | 5.86 |
| TFe ₂ O ₃ | 1.32 | 1.60 | 4.40 |
| MnO | 0.08 | 0.04 | 0.15 |
| MgO | 0.49 | 0.85 | 2.66 |
| CaO | 2.26 | 2.28 | 5.95 |
| Na ₂ O | 3.87 | 4.07 | 3.97 |
| K ₂ O | 2.65 | 0.10 | 0.11 |
| TiO ₂ | 0.29 | 0.32 | 0.97 |
| P ₂ O ₅ | 0.07 | 0.08 | 0.22 |
| A.K | 0.48 | 0.72 | 0.91 |
| Toplam | 97.98 | 96.76 | 99.21 |
| A/CNK | 1.06 | 1.20 | 0.90 |
| NK/A | 0.65 | 0.52 | 0.42 |
| Topluluk | Peraltümino | Peraltümino | Metalümino |



Şekil 1. İnceleme alanı bulduru haritası.

Figure 1. Location map of the studied area.

İkincil mineraller ise % 0.4 oranında belirlenmiştir. Mikroskop altında tonalit içerisinde ilmenit ve zirkon birlikte ortaya konmuştur.

Kuvars diyorit: Ana mineral olarak plajiyoklaz, kuvars, hornblend, opak mineraller olarak ilmenit, pirit ve manyetit bulunmaktadır. Bu kayaçlarda ilmenit ve zirkonun birlikte olması söz konusudur. Ilmenit kısmen lökoksene dönüşmüştür. Modal analizlerde 4 kuvars diyorit türü kayaç örneğinde ferromagnezyumlu mineraller olarak alınan amfibol, opak mineraller, klorit ve epidot toplamının % 11'den % 43'e kadar değiştiği belirlenmiştir. Sfen, apatit ve zirkondan oluşan ikincil mineraller ise ortalama % 0.55 oranındadır.

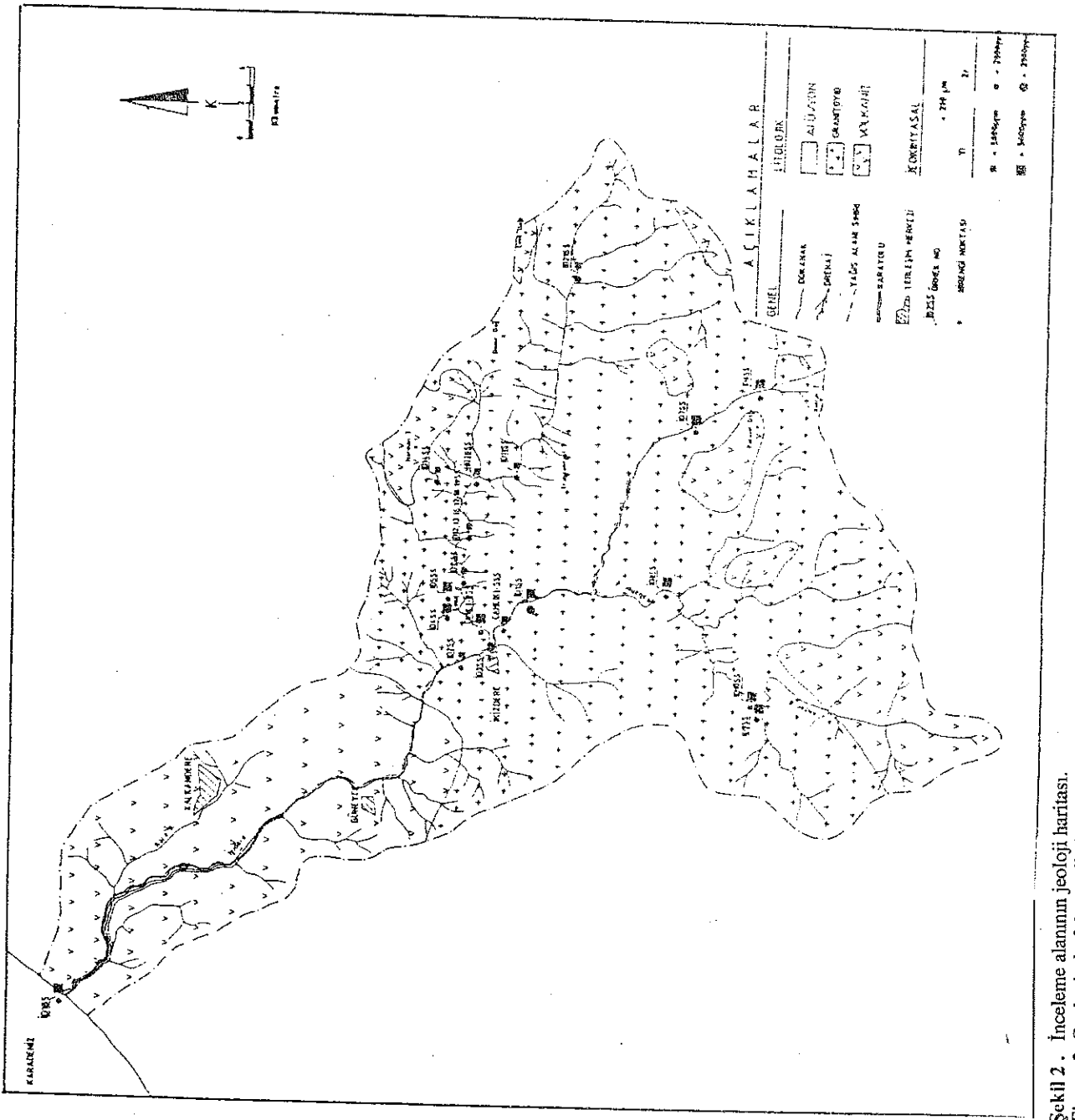
İkizdere Yöresi Granitoyidinde; Taner (1977) tarafından belirlenen kayaç türlerinin analiz sonuçlarının ortalaması değerleri Clarke'in (1992) A/CNK oranlarına uygulandığında granodiyorit ve tonalitin peralümino, kuvars diyorit ise metalümino topluluğu ait olduğu ortaya çıkmaktadır (Çizelge 1). İkizdere Yöresi Granitoyidlerinde tüm kayaç zirkonyum analizi yapılmamıştır. Ancak bazı kayaç türlerinde mikroskopik incelemeler sonucunda zirkona rastlanmıştır. Metamorfizmaya uğramış bazik volkanik kayaçlarda mikroskop altıda ilmenit bolca gözlenmektedir ki bu durum 4 metadiyabaz örneği üzerinde yapılan analizlerde ortalama % 0.83 TiO₂ oranıyla da doğrulanmaktadır. Denizaltı lav akıntılarıyla karakteristik hematitli volkanolojik seri içerisinde gözlenen genellikle diyabaz bileşimindeki yastık lavları yer yer lökoksene dönüşmüş birincil ilmenite daha

fazla miktarlarda rastlanmaktadır. Bu durum yastık lav yapısındaki diyabaz bileşimli 9 adet kayaç örneğindeki % 0.77 den % 1.51'e kadar değişen TiO₂ değerleriyle doğrulanmaktadır. Keza Taner (1977) tarafından belirlenen zeolit fasyesinin geliştiği bazik bileşimli volkanitlerin 6 adet örneğinde, ortalama % TiO₂ miktarı % 1.00'dır. Masif diyabazların 11 adedinde % TiO₂ miktarı % 0.84 ten % 1.29 a kadar değişmektedir. Tüm bu kayaçlar içerisinde mikroskop altında kolaylıkla görülen ilmenit minerali yaygındır. Bu bölgedeki andezit ve dasit türlerinde ortaç ve asit bileşimli kayaçlarda ise TiO₂ miktarının genellikle bazıklere göre düşük olduğu analizlerle ortaya konmuştur. Fakat bu kayaçlar içinde zirkon, mikroskop altında gözlenebilecek büyülüklük ve miktarlara erişmektedir. Mikroskop altında zirkon, çoğu kırıklı bazen de kısa ve prizmatik şekilde, ilmenit ise şekeksiz taneler halinde gözlenmektedir. Sonuç olarak bölgede yaygın yüzeyel bozunma ve bunun sonucunda İyidere Havzasında ve İyiderenin denize döküldüğü yerde, granitoyidler ve volkanitlerden gelen kumların karışarak birliği sahil plaserleri yaygındır. Burası ilmenit + zirkon birliliklerinin söz konusu olduğu bir havzadır.

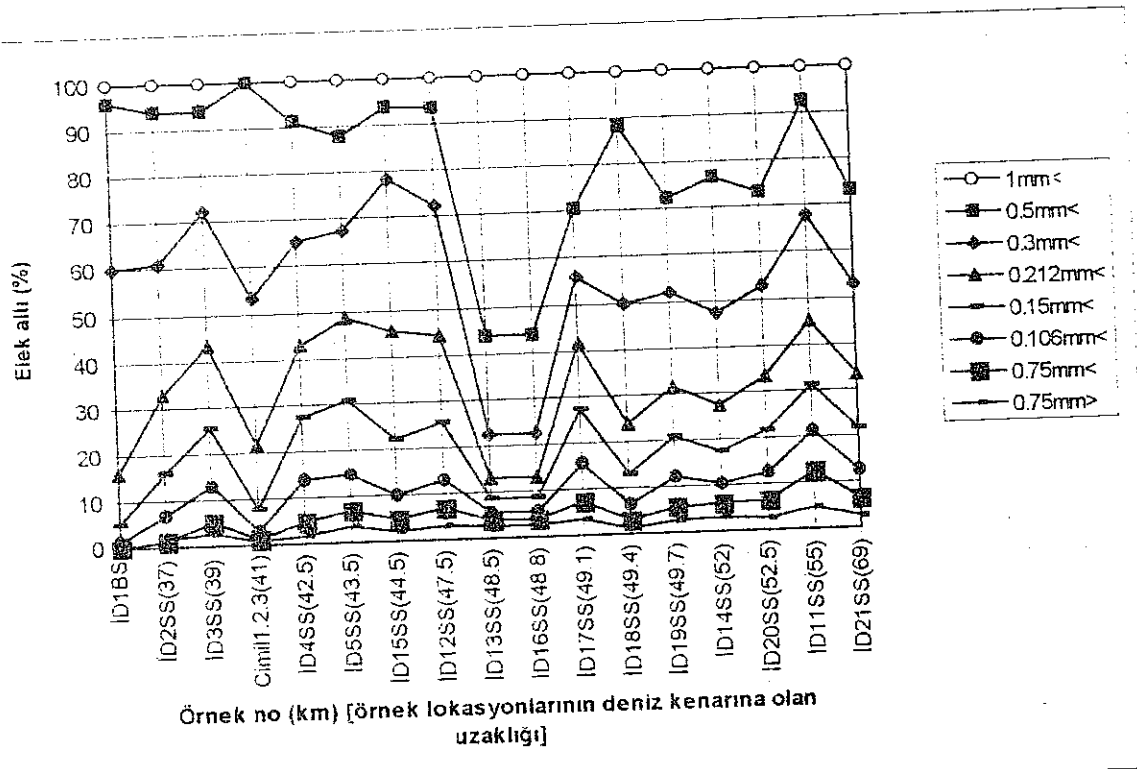
ÇALIŞMA YÖNTEMLERİ

Ön Çalışmalar

İlk aşamada bölgede yapılan tüm çalışmalar gözden geçirilmiş, 1: 100 000 ölçekli topografya haritalarında granitoyid sınırları işlenmiş ve en son aşamada, granito-



Sekil 2. İnceleme alanının jeoloji haritası.
Figure 2. Geological of the studied area.



Şekil 3. İyidere Havzası dere sedimentlerinin denize olan uzaklığa göre 1 mm altı tane boyu dağılım diyagramı.

Figure 3. Granulometric distribution diagram below 1 mm according to the distance from the sea of İyidere Basin stream sediment.

Yıldır ağaçlayan derelerden yapılacak örneklemeye noktaları belirlenmiştir.

Saha Çalışmaları

Çalışmanın amacıyla yönelik örneklemeye yapılmıştır. Amaç aşınmaya karşı dayanıklı olan zirkonyum ve titanyum mineralerinin en fazla zenginleştiği yerleri belirlemek olduğundan dere sedimentleri ve sahil plaserlerinden örneklemeye yapılmıştır. Bu çalışmalar esnasında önceden olasılı sınırları çizilen granitoyid yüzeylemelerinin alansal kontrolü yapılmış ve önceki çalışmalarla denetirmek amacıyla da gerekli görülen yerlerden tüm kayaç örnekleri alınmıştır. Sediment örnekleri alımında sistematik örneklemeye yapılmamış, örnekler dere kavşaklarının biraz üstünden, belli bir bölgeyi karakterize edecek şekilde yaklaşık 5 kg olarak alınmıştır. Zirkonyum ve titanyum mineralerleri 0.212 mm elek altından itibaren zenginleştiği için örneklemeye sırasında 1 mm elekten geçebilecek kumlar tercih edilmiş ve örnekler sedimentlerin yüzeyinden ve en fazla 50 cm derinliğe kadar olan kesiminden alınmıştır. Örneklemeye dere kavşaklarının biraz üst kesiminde dere kenarından veya derenin ortasından drenaj alanının tümünü karakterize edecek şekilde yapılmıştır. Örnekler genellikle kuru olarak alınmaya çalışılmış, bunun olanaksız olduğu kesimlerde ise ıslak örneklemeye yapılarak doğal koşullarda kurutulduktan sonra laboratuvara nakledilmiştir.

Laboratuvar ve Büro Çalışmaları

Araziden alınan örneklerin büyük bir çoğulğunun analizi ICP (Induced Coupled Plasma) ve diğer bir kısmının da XRF (X-Ray Fluorescence) teknigiyle yapılmıştır. Mineralojik çalışma için Çekmece Nükleer Araştırma ve Eğitim Merkezi (ÇNAEM) laboratuvarındaki sallantılı masada çalışmaları yapılarak ağır mineral kısmı zenginleştirilmiştir. Bu ürünlerin Sivas Cumhuriyet Üniversitesi Mineraloji-Petrografi ve Jeokimya Araştırma Laboratuvarında (MİPJAL) XRF çekimleri yapılarak ağır mineral fraksiyonundaki zirkonyum ve titanyum zenginleşmeleri kontrol edilmiştir. Mineraller sistematik olarak binokülerde belirlenmiş, zenginleşmiş fraksiyonların mineralojik bileşimi ise XRD çekimleriyle denetilmiştir. ICP ve XRF analizlerine örnek hazırlama yöntemleri Çizelge 2 ve 3'de ayrıntılı olarak verilmiştir. Elde edilen sonuçlar büro çalışmaları sonucunda değerlendirilerek granitoyidlerin işlenmiş olduğu 1 : 250 000 ölçekli haritalara yerleştirilmiştir.

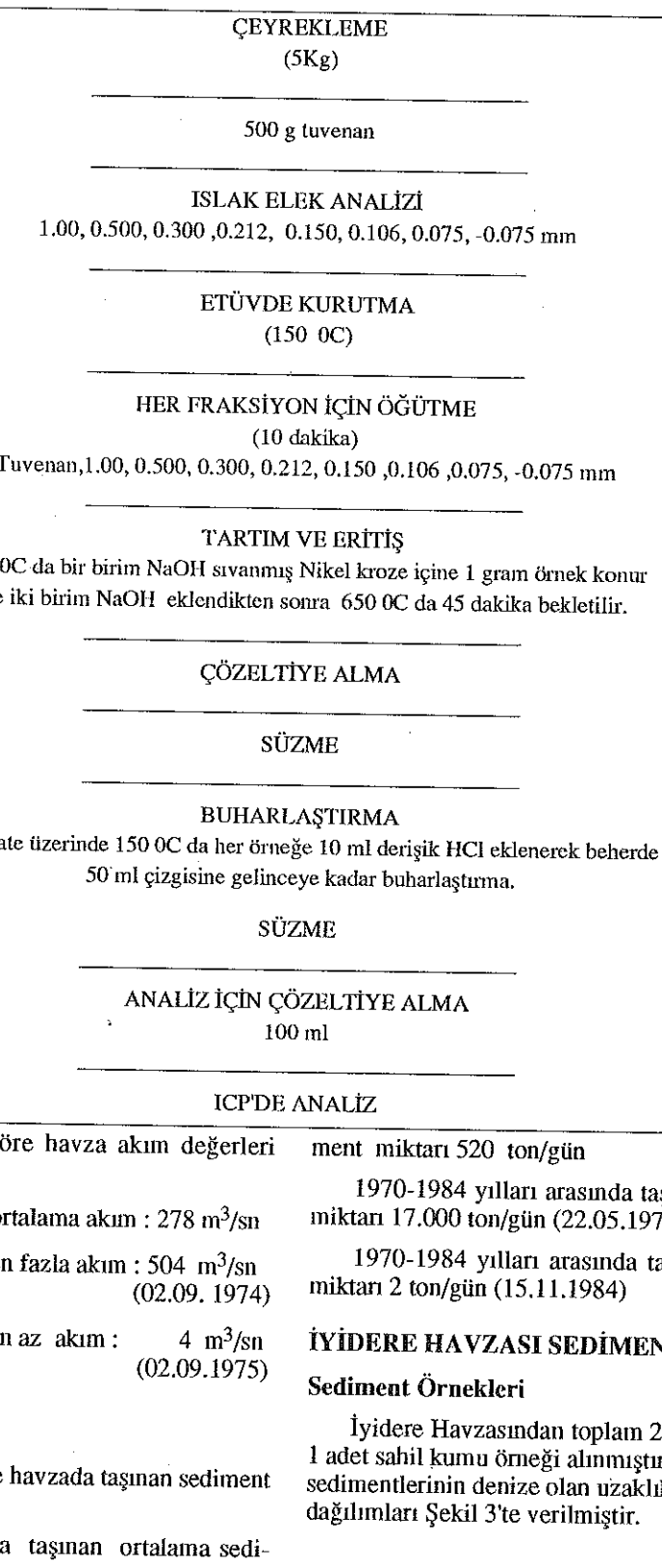
İYİDERE HAVZASI

Havza Alanı

Rize ili sınırları içinde akan İyidere'nin yağış alanıyla sınırlıdır. Havza alanı 1040 km²dir. Bunun 742 km² si granitoyidlerle kaplıdır.

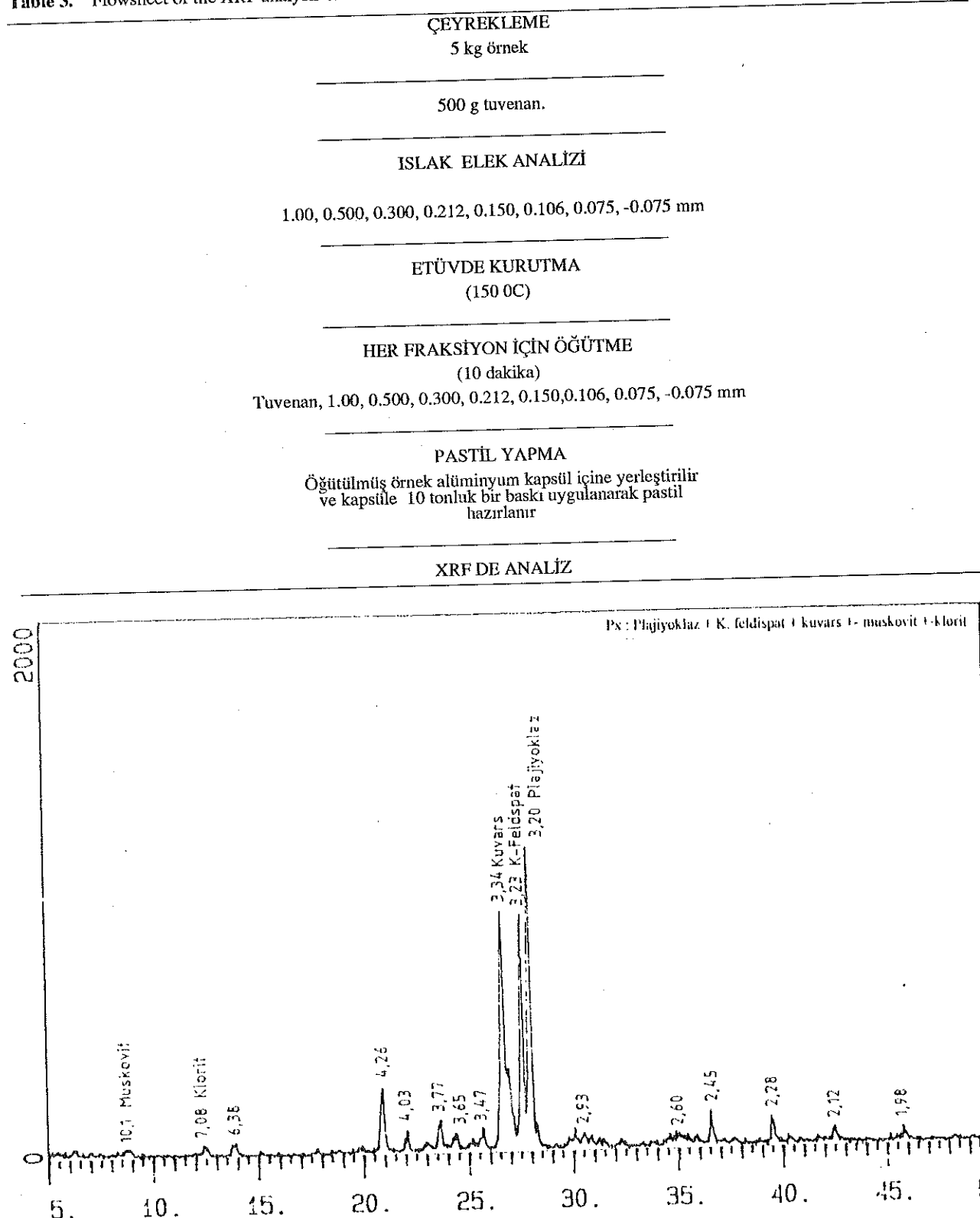
Ortalama Akımlar

Çizelge 2. Dere sedimenti örneklerinin ICP'de analizlerinin akum şeması.
Table 2 . Flowsheet of the ICP analysis of stream sediment samples.



Çizelge 3. Dere sedimenti örneklerinin XRF'de analizlerinin akım şeması.

Table 3. Flowsheet of the XRF analysis of stream sediment samples.



Sekil 4. İyidere Havzasını temsil eden tuvenan örneğin XRD çekimi.

Figure 4. XRD attraction of tuvenan sample of İyidere Basin.

Cizelge 4. İyidere havzası tuvenan örnegi sallantılı masa konsantresi örneklerinde Zr (ppm) ve Ti (ppm) dağılımı.

Table 4. Distribution of Zr (ppm) and Ti (ppm) values the concentration of the shaken table tuvenan samples of İyidere Basin

| | Zr (ppm) ppm | Ti(ppm) |
|--------------------------------------|-----------------|---------|
| İyidere konsantre (Manyetik) | 174 | 22096 |
| İyidere konsantre (Manyetik olmayan) | 1692 | 17246 |

Havzanın Tuvenan Mineralojisi

İyidere Havzasını temsil eden tuvenan örnek hazırlanırken, bu havzadan alınan dere kumu ve sahil kumu örneklerinin her birinin yarısı harmanlanarak havza tuvenan örnegi elde edilmiştir. Havza tuvenan örnegi 1.00 mm'lik elekten geçirildikten sonra böltüctülerle homojenleştirilmiştir. Kimyasal ve mineralojik analizler için örnek böltüsü kullanılarak tuvenan örnek 200 grama kadar sürekli böltünmüştür. Elde edilen 200 gramlık örnek Reich marka ögüttüciye 200 mesin altına kadar ögütülerek örnek analize hazır hale getirilmiştir. İyidere Havzasının tuvenan örneginden hazırlanmış preparatin XRD çekimi yapılarak bolluk sırasına göre plajiyoklaz + K. feldspat + kuvars + - muskovit + - klorit mineralları belirlenmiştir (Şekil 4).

Havzanın Tuvenan Sallantılı Masa Konsantresi Zr/Ti Değerleri

Havzayı temsil eden tuvenan örnegi tümüyle sallantılı masadan geçirilerek konsantre ürün elde edilmiştir. Böltücten geçirilerek homojenleştirilen konsantre ürün doğal manyetik ve doğal manyetik olmayan kısımda ayrılmıştır. Her birinden yaklaşık 200 gramlık kısım, Reich marka ögüttüciye ögütümüştür. ICP de yapılan analiz sonucunda doğal manyetik kısmındaki Zr : 174 ppm, Ti : 22096 ppm ve manyetik olmayan kısmındaki % Zr: 1692 ppm Ti : 17746 ppm olarak belirlenmiştir (Cizelge 4).

Havzanın Sallantılı Masa Konsantresi Mineralojisi

Kimyasal analiz için hazırlanmış doğal manyetik kısından ve doğal manyetik olmayan kısından XRD çekimi yapılmış ve doğal manyetik kısında manyetit + ilmenit + kuvars + - zirkon, doğal manyetik olmayan kısında ise kuvars + epidot + ilmenit + - amfibol + - klorit + - plajiyoklaz mineralleri saptanmıştır (Şekil 5-6).

ZİRKONYUM ZENGİNLEŞMESİ

İyidere Havzasındaki tuvenan ortalama Zr değeri granitoyidlerinkine göre yüksektir. Bu durum, havzadaki granitoyidlerin toplam havza alanının % 72'sini oluştumasından kaynaklanmaktadır. Granitoyid ortalama değeri 175 ppm'dir (Rose ve diğ., 1979). Dere kumlarındaki ortalama 308 ppm, 1.76'lık bir doğal zenginleşmenin ortaya çıktığını göstermektedir. İD 1 BS sahil kumundaki 2.03 oranındaki doğal zenginleşme ise, sahil ve kıta sahanlığı plaserlerini ayrıntılı ağır mineral prospeksiyonu için ilginç kılmaktadır. İyidere Havzası, 0.150 + 0.106, -0.106 + 0.0075 ve -0.0075 mm fraksiyonlarında yüksek sayılabilecek granülometrik zenginleşmeler göstermektedir (Cizelge 5). Havzadaki örneklerden hazırlanan tuvenan örneginin, sallantılı masa konsantresinin manyetik olan kısmında 174 ppm Zirkon, manyetik olmayan kısmında ise 0.34 1692 ppm zirkon değeri belirlenmiştir.

nu için ilginç kılmaktadır. İyidere Havzası, 0.150 + 0.106, -0.106 + 0.0075 ve -0.0075 mm fraksiyonlarında yüksek sayılabilecek granülometrik zenginleşmeler göstermektedir (Cizelge 5). Havzadaki örneklerden hazırlanan tuvenan örneginin, sallantılı masa konsantresinin manyetik olan kısmında 174 ppm Zirkon, manyetik olmayan kısmında ise 0.34 1692 ppm zirkon değeri belirlenmiştir.

TİTANYUM ZENGİNLEŞMESİ

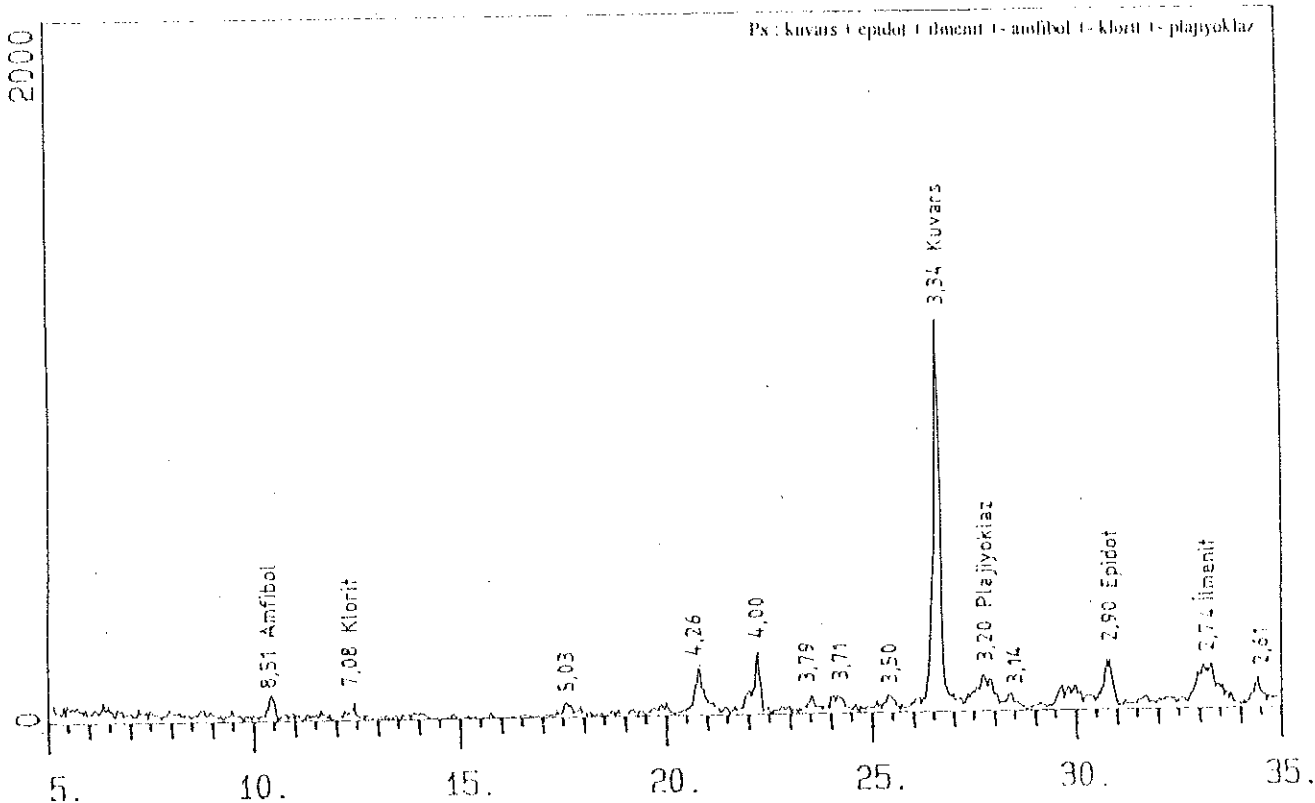
İyidere Havzası örneklerinde ortalama Ti değeri % 0.1359 olup bu değer % 0.22 TiO₂'ye karşılık gelmektedir. Zr değerlerine parellellik gösteren granülometrik zenginleşmeler 0.212 mm den itibaren başlamaktadır (Cizelge 6). Havzadaki örneklerden hazırlanan tuvenan örneginin sallantılı masa konsantresinin manyetik olan kısmında 22096 ppm Ti değeri, manyetik olmayan kısmında ise 17246 Ti değeri belirlenmiştir. Buradaki Ti yörenedeki granitoyidlerle dokanak ilişkisi gösteren bazık volkanik kayaçların fiziksel bozunması sonucunda zenginleşmiştir.

SONUÇ VE ÖNERİLER

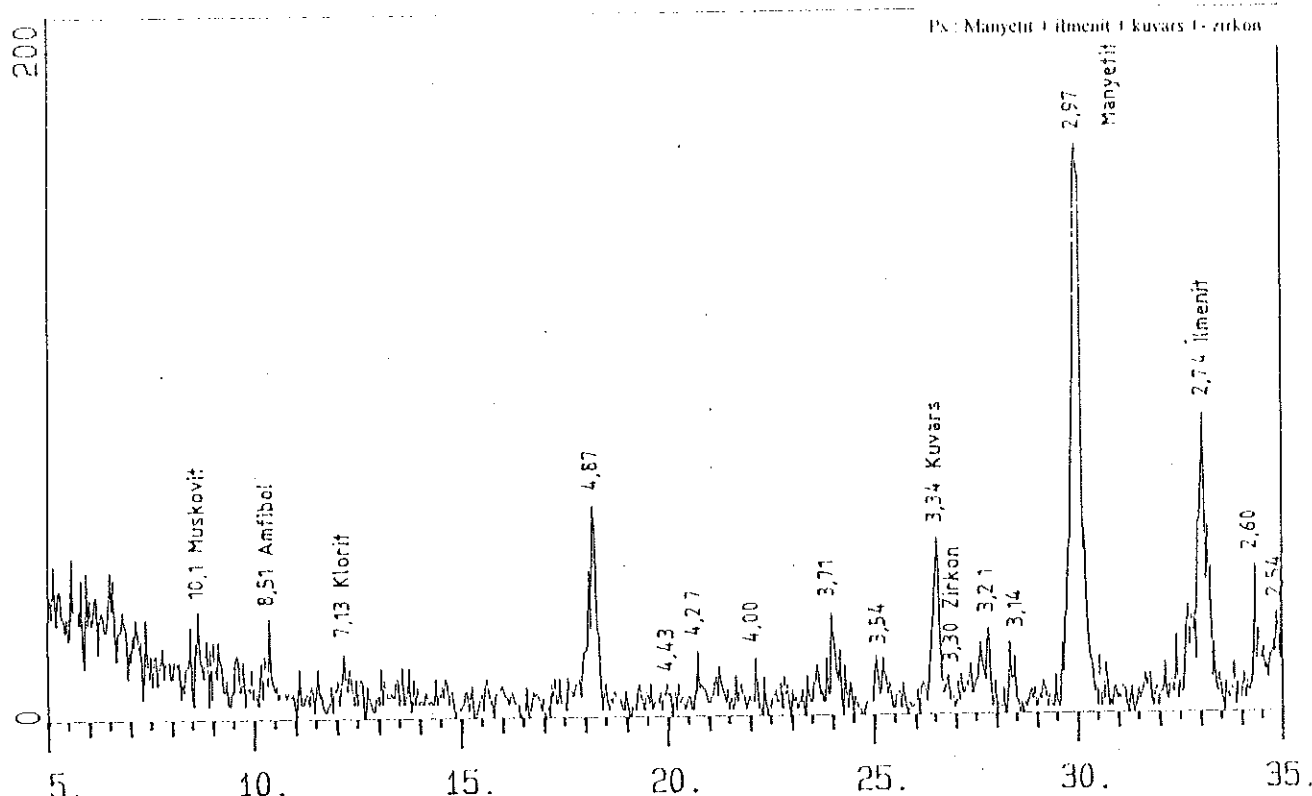
İyidere Havzası dere sedimentlerinden alınan örneklerdeki Zr ve Ti içerikleri ile İyidere Havzası dere sedimentlerinin birliği sahil şeridineki sahil plaserlerinin Zr ve Ti içerikleri, ayrıntılı jeokimyasal prospeksiyon çalışmalarının, önemli bir plaser birikim havzası olan İyidere Havzası sahil plaserlerinin birliği İyidere Deltasında yapılması gerektiğini göstermektedir. Bu nedenle bu kesimde ayrıntılı ağır mineral prospeksiyon çalışmasının yapılması zirkon ve ilmenit plaser yatağı açısından -0.212+0.150, -0.150+0.106 ve -0.106+0.075 mm fraksiyonlarında ilginç olabilir.

KATKI BELİRTME

Bu çalışmaların yürütülmesi sırasında gerek saha, gerekse laboratuvar çalışmalarında bizden hiç bir yardımı esirgemeyen Çekmece Nükleer Araştırma ve Eğitim Merkezine (ÇNAEM), Sivas Cumhuriyet Üniversitesi Mühendislik Fakültesi Jeoloji Mühendisliği Bölümü Mineraloji-Petrografi ve Jeokimya Laboratuvarı (MİP-JAL) çalışanlarına, 90 K 120570 nolu Karadeniz Bölgesi Granitoyid Kuşaklarına Bağlı Zirkon Oluşumlarının Belirlenmesi projesini destekleyen Devlet Planlama Teş-



Şekil 5. İyidere Havzasını temsil eden tuvenan örneğin sallantılı masa konsantresi manyetik olmayan kısmın XRD çekimi.
Figure 5. XRD attraction of unmagnetic part of the tuvenan sample for shaken table concentration of İyidere Basin sample.



Şekil 6. İyidere Havzasını temsil eden tuvenan örneğin sallantılı masa konsantresi manyetik kısmın XRD çekimi.
Figure 6. XRD attraction of magnetic part of the tuvenan sample for shaken table concentration of İyidere Basin sample.

Çizelge 5. İyidere Havzasının Zr Değerleri (%)

Table 5. Zr values(%) of İyidere Basin

| Örnek No | Elektrifaksiyonları | | | | | | | Tuvanan |
|-------------------|---------------------|--------|---------|--------|--------|--------|--------|---------------|
| | +1.00 | -1.00/ | +0.500/ | 0.300/ | 0.212/ | 0.150/ | 0.106/ | |
| | | | +0.500 | 0.300 | 0.212 | 0.150 | 0.106 | 0.075 |
| ID 1 BS | 0.0080 | 0.0410 | 0.0370 | 0.120 | 0.0165 | 0.0403 | 0.1044 | a.y. 0.0355 |
| ID 1 SS | 0.0080 | 0.0180 | 0.0310 | 0.0840 | 0.1163 | 0.2763 | 0.7400 | 1.5464 0.0823 |
| ID 2 SS | 0.0025 | 0.0040 | 0.0092 | 0.0112 | 0.0161 | 0.0765 | 0.1910 | 0.1344 0.0117 |
| ID 3 SS | 0.0045 | 0.0088 | 0.0155 | 0.0210 | 0.0088 | 0.0460 | 0.1382 | 0.2300 0.0240 |
| ID 4 SS | 0.0018 | 0.0097 | 0.0221 | 0.0314 | 0.0325 | 0.1630 | 0.4500 | 0.7200 0.0440 |
| ID 5 SS | 0.0035 | 0.0090 | 0.0140 | 0.0185 | 0.0249 | 0.0544 | 0.0942 | 0.1810 0.0180 |
| ÇAMLIK 1 | a.y. | 0.0050 | 0.0080 | 0.0110 | 0.0025 | 0.0063 | 0.0645 | 0.0604 0.0085 |
| ÇAMLIK 2 | 0.0025 | 0.0062 | 0.0102 | 0.0185 | 0.0271 | 0.0416 | 0.1162 | 0.1250 0.0037 |
| ÇAMLIK 3 | 0.0012 | 0.0025 | 0.0044 | 0.0092 | 0.0208 | 0.0791 | 0.1966 | 0.2715 0.0043 |
| ÇAMLIK 4 | 0.0020 | 0.0022 | 0.0052 | 0.0065 | 0.0093 | 0.0199 | 0.0520 | 0.1130 0.0040 |
| ÇAMLIK 5 | a.y. | 0.0012 | 0.0032 | 0.0043 | 0.0069 | 0.0165 | 0.0391 | 0.1061 0.0038 |
| CİMİL 1 | a.y. | 0.0068 | 0.0070 | 0.0070 | 0.0070 | 0.0078 | 0.0250 | 0.0792 0.0080 |
| CİMİL 2 | 0.0025 | 0.0090 | 0.0160 | 0.0205 | 0.0318 | 0.0590 | 0.1359 | 0.1918 0.0180 |
| CİMİL 3 | 0.0015 | 0.0027 | 0.0041 | 0.0069 | 0.0080 | 0.0121 | 0.0321 | 0.0662 0.0036 |
| ID 6 SS | 0.0058 | 0.0097 | 0.0105 | 0.0120 | 0.0162 | 0.0587 | 0.0713 | 0.1640 a.y. |
| ID 7 SS | 0.0065 | 0.0080 | 0.0110 | 0.0145 | 0.0341 | 0.0446 | 0.1539 | 0.1732 a.y. |
| ID 8 SS | 0.0859 | 0.0855 | 0.0120 | 0.1073 | 0.7790 | 1.4472 | 3.0872 | 7.9433 0.0158 |
| ID 9 SS | 0.0142 | 0.0070 | 0.0130 | 0.0985 | 0.1091 | 0.4705 | 1.4971 | 3.1229 0.0102 |
| ID 10 SS | 0.0080 | 0.0110 | 0.0095 | 0.0130 | 0.1400 | 0.1010 | 1.2360 | 1.2350 0.0118 |
| ID 11 SS | 0.0032 | 0.0044 | 0.0028 | 0.0054 | 0.0037 | 0.0160 | 0.0422 | 0.1119 0.0447 |
| ID 12 SS | 0.0088 | 0.0092 | 0.0085 | 0.0112 | 0.0086 | 0.0103 | 0.0287 | 0.0893 0.0976 |
| ID 13 SS | 0.0064 | 0.0080 | 0.0098 | 0.0096 | 0.0079 | 0.0093 | 0.0373 | 0.0664 0.0336 |
| ID 14 SS | 0.0028 | 0.0065 | 0.0084 | 0.0092 | 0.0028 | 0.0052 | 0.0033 | 0.0395 0.0913 |
| ID 15 SS | 0.0098 | 0.0090 | 0.0110 | 0.0115 | 0.0129 | 0.0645 | 0.1483 | 0.2091 0.0746 |
| ID 16 SS | 0.0075 | 0.0082 | 0.0091 | 0.0085 | 0.0089 | 0.0202 | 0.0895 | 0.2998 0.0350 |
| ID 17 SS | 0.0070 | 0.0092 | 0.0098 | 0.0120 | 0.0034 | 0.0078 | 0.0377 | 0.1473 0.0322 |
| ID 18 SS | 0.0085 | 0.0078 | 0.0092 | 0.0125 | 0.0097 | 0.0237 | 0.0378 | 0.1543 0.0785 |
| ID 19 SS | 0.0070 | 0.0085 | 0.0092 | 0.0084 | 0.0017 | 0.0015 | 0.0168 | 0.0170 0.0476 |
| ID 20 SS | a.y. | a.y. | a.y. | a.y. | 0.0112 | 0.0146 | 0.0317 | 0.0644 0.0137 |
| ID 21 SS | a.y. | 0.0010 | 0.0010 | 0.0025 | 0.0040 | 0.0085 | 0.0065 | 0.0180 0.0069 |
| Ortalama | 0.0088 | 0.0110 | 0.0111 | 0.0206 | 0.0494 | 0.1068 | 0.2952 | 0.6097 0.0308 |
| Zenginleşme oranı | 0.28 | 0.36 | 0.36 | 0.67 | 1.60 | 3.47 | 9.58 | 19.79 1.00 |

kılatica, Doç. Dr. Durmuş BOZTUĞ'a, Prof. Dr. Bedri İPEKOĞLU'na ve Prof. Dr. Osman YILMAZ'a teşekkür ederiz.

YARARLANILAN KAYNAKLAR

Clarke, D.B., 1992. Granitoid rocks. Topics in the Earth Sciences 7, University of Cambridge, 283 s.

Çoğulu, E., 1972. Gümüşhane ve Rize granitik plutonlarının mukayeseli petrolojik ve jeokronometrik etütü. Doktora tezi, İ.T.Ü. Maden Fakültesi İstanbul, (Yayınlanmamış).

Debon, F., Le Fort P., 1982. A chemical-mineralogical classification of common plutonic rocks and associations. Transcations of Royal Soc. of Edinburg. Earth Sci., 73, 135-149.

EİE, 1991. 1988 Su Yılı Akım Değerleri. Elektrik İşleri Etüd İdaresi Genel Müdürlüğü yayını, No. 91 - 95, 318 s., Ankara.

EİE, 1987. Türkiye akarsularında sediment gözlemleri ve sediment taşının miktarları. Elektrik İşleri Etüd İdaresi Genel Müdürlüğü yayını, No. 87-44,494 s., Ankara .

Çizelge 6. İyidere Havzasının Ti Değerleri (%)

Table 6. Ti values(%) of İyidere Basin

| Örnek No | Elek Fraksiyonları | | | | | | | Tuvanan |
|-------------------|--------------------|--------|---------|--------|--------|--------|--------|---------------|
| | +1.00 | -1.00/ | +0.500/ | 0.300/ | 0.212/ | 0.150/ | 0.106/ | |
| | | | +0.500 | 0.300 | 0.212 | 0.150 | 0.106 | 0.075 |
| ID 1 BS | 0.0640 | 0.2825 | 0.3690 | 0.4900 | 0.9000 | 1.4900 | 0.8050 | a.y. 0.3034 |
| ID 1 SS | 0.0845 | 0.0940 | 0.2965 | 0.4326 | 1.6000 | 2.0000 | 1.2000 | 0.7500 0.4848 |
| ID 2 SS | 0.0345 | 0.0990 | 0.1215 | 0.1490 | 0.4171 | 0.5783 | 0.4880 | 0.3899 0.1990 |
| ID 3 SS | 0.0240 | 0.865 | 0.1490 | 0.2325 | 0.4214 | 0.4520 | 0.4242 | 0.4162 0.2400 |
| ID 4 SS | 0.0825 | 0.1120 | 0.1640 | 0.1890 | 0.1700 | 2.7926 | 1.5240 | 0.8367 0.6200 |
| ID 5 SS | 0.0110 | 0.0820 | 0.1945 | 0.2810 | 1.1314 | 0.6396 | 0.3235 | 0.3348 0.3750 |
| ÇAMLIK 1 | a.y.. | 0.0760 | 0.1110 | 0.1400 | 0.1580 | 0.2167 | 0.3050 | 0.3100 0.1276 |
| ÇAMLIK 2 | 0.0225 | 0.0510 | 0.0770 | 0.1440 | 0.2667 | 0.3350 | 0.3050 | 0.2970 0.0601 |
| ÇAMLIK 3 | 0.0395 | 0.0840 | 0.1345 | 0.2010 | 0.3202 | 0.4610 | 0.4502 | 0.3334 0.1159 |
| ÇAMLIK 4 | 0.0403 | 0.0522 | 0.0905 | 0.1212 | 0.1688 | 0.2383 | 0.2589 | 0.2855 0.0799 |
| ÇAMLIK 5 | a.y. | 0.0464 | 0.0982 | 0.1125 | 0.1573 | 0.2387 | 0.2472 | 0.2722 0.1215 |
| CİMİL 1 | a.y. | 0.0790 | 0.0920 | 0.1210 | 0.1724 | 0.1693 | 0.2659 | 0.3041 0.1158 |
| CİMİL 2 | 0.0645 | 0.0980 | 0.1710 | 0.2980 | 0.4405 | 0.6402 | 0.8514 | 0.9848 0.1930 |
| CİMİL 3 | 0.0322 | 0.0613 | 0.0915 | 0.1211 | 0.1774 | 0.1939 | 0.2390 | 0.2723 0.0910 |
| ID 6 SS | 0.0400 | 0.0550 | 0.0980 | 0.1420 | 0.3621 | 0.4608 | 0.6218 | 1.5795 a.y. |
| ID 7 SS | 0.0480 | 0.0670 | 0.1020 | 0.1910 | 0.4152 | 0.4611 | 1.6456 | 2.4333 a.y. |
| ID 8 SS | 0.0889 | 0.9277 | 0.1513 | 0.2419 | 0.8068 | 1.3139 | 1.4087 | 1.2073 0.1765 |
| ID 9 SS | 0.0567 | 0.0690 | 0.0891 | 0.1506 | 0.3063 | 1.1127 | 0.7879 | 0.8395 0.1460 |
| ID 10 SS | 0.0130 | 0.0195 | 0.0150 | 0.0201 | 0.4600 | 0.7010 | 0.6000 | 0.4170 0.0924 |
| ID 11 SS | 0.0678 | 0.0841 | 0.0880 | 0.0920 | 0.1430 | 0.1637 | 0.1890 | 0.2590 0.0105 |
| ID 12 SS | 0.0841 | 0.0910 | 0.0909 | 0.1120 | 0.1310 | 0.1820 | 0.2410 | 0.3099 0.0133 |
| ID 13 SS | 0.0765 | 0.0790 | 0.0980 | 0.0992 | 0.1089 | 0.1178 | 0.1425 | 0.2795 0.0050 |
| ID 14 SS | 0.0845 | 0.0990 | 0.1170 | 0.1210 | 0.1196 | 0.1273 | 0.1447 | 0.2778 0.0054 |
| ID 15 SS | 0.1518 | 0.1580 | 0.1890 | 0.1985 | 0.2474 | 0.3326 | 0.3045 | 0.2887 0.0079 |
| ID 16 SS | 0.0490 | 0.0495 | 0.0582 | 0.0604 | 0.0602 | 0.1533 | 0.1790 | 0.1177 0.0136 |
| ID 17 SS | 0.0325 | 0.0380 | 0.0365 | 0.0370 | 0.0324 | 0.0471 | 0.0994 | 0.1410 0.0143 |
| ID 18 SS | 0.0892 | 0.0920 | 0.1450 | 0.1874 | 0.2518 | 0.3145 | 0.3067 | 0.3241 0.0085 |
| ID 19 SS | 0.0870 | 0.0985 | 0.1090 | 0.1375 | 0.1575 | 0.1735 | 0.1464 | 0.1472 0.0090 |
| ID 20 SS | a.y. | a.y. | a.y. | a.y. | 0.2260 | 0.2840 | 0.3080 | 0.3870 0.2270 |
| ID 21 SS | a.y. | 0.0610 | 0.0640 | 0.0995 | 0.1390 | 0.1790 | 0.1970 | 0.2290 0.1538 |
| Ortalama | 0.0587 | 0.1135 | 0.1245 | 0.1696 | 0.3422 | 0.5439 | 0.4905 | 0.4857 0.1359 |
| Zenginleşme oranı | 0.43 | 0.83 | 0.92 | 1.45 | 2.52 | 4.00 | 3.60 | 3.57 1.00 |

Rose, A.W., Hawkewes H.E. ve Webb, J.S. 1979. Geochimistry in Mineral Exploration. Academic Press, London, 557 s.

Taner, M. F., 1977. Etude géologique et pétrographique de la region de Güneyce-İkizdere, située au sud de Rize (Pontides Orientales, Turquie). Doktora tezi. Université de Geneve, 180 s., (yayınlanmamış).

Yılmaz, O., İpekoğlu, B., Boztuğ, D., Pehlivan, R., Güngör, Y., Sezer, H., Gürelî, L., Birdane, G., 1995. Karadeniz Bölgesi Granitoyid Kuşaklarına Bağlı Zirkon Oluşumlarının belirlenmesi. DPT 90 K 120570 nolu teknolojik araştırma projesi. İst. Üniv. Jeo. Müh. Böl., İstanbul, 249 s., 2 ek (yayınlanmamış).